

DIPLOMNÍ ÚKOL

pro

Jiřího Chvájku

odbor

strojírenská technologie

Protože jste splnil požadavky učebního plánu, zadává Vám vedoucí katedry ve smyslu směrnic ministerstva školství a kultury o státních závěrečných zkouškách tento diplomní úkol:

Název tématu: Ověření rotačního viskosimetru na kontinuální měření viskosity obalové směsi a studium fluidního zasypávání keramických skořepinových forem

Pokyny pro vypracování:

Ověřte vhodnost použití rotačního viskosimetru v provozních podmínkách na kontinuální měření viskosity obalové směsi v národním podniku Přesné strojírenství v Uherském Brodě a věnujte se studiu fluidního zasypávání keramických skořepinových forem.

- A 1) Nemontujte rotační viskosimetr do nádrže na obalovou směs, která je součástí automatické obalové linky.
- 2) Ocejchujte viskosimetr v provozních podmínkách.
- 3) Průběžně kontrolujte správnost údajů viskosimetru a jeho spolehlivost.
- 4) Stanovte a nastavte vhodnou toleranci signalizace viskosimetru podle výsledků studia ad B)
- B 1) Proveďte kritickou rešerši fluidního způsobu zasypávání keramických skořepinových forem.
- 2) Zjistěte provozní parametry fluidního lůžka používaného v národním podniku Přesné strojírenství v Uherském Brodě a sledujte změnu zrnitosti zásypového písku v závislosti na počtu obalených forem a na změně viskosity obalové směsi (při konstatním obsahu SiO₂ ve vazné kapalině). Spolu s formami obalujte i zkušební vzorky a změřte i jejich pevnost a prodyšnost.
- 3) Při fluidním zasypávání zkušebních vzorků zjistěte vliv změny tlaku vzduchu, hloubky ponoření, polohy vzorku, jeho pohybu a případně i dalších parametrů na změnu zrnitosti zásypového písku během obalování při konstatní viskositě obalové směsi. Současně sledujte abrasivní účinky fluidního lože.
- 4) Zjistěte rozdíly v pevnosti a prodyšnosti vzorků zasypávaných fluidním způsobem a gravitačním zásypem.
- 5) Zhodnotte výsledky výzkumu z hlediska využití pro zlepšení technologie výroby skořepinových forem, z hlediska ekonomického i s ohledem na pokračování výzkumu ve sledovaném směru.

Autorské právo se řídí směrnicemi MŠK pro státní závěrečné zkoušky č. j. 31.727/62-III/2 ze dne 13. července 1962-Věstník MŠK XVIII, sešit 24 ze dne 8.6.1962, § 19 autorského zákona č. 115/53 Sb.

Rozsah grafických laboratorních prací: tabulky a grafy (diagramy)

Rozsah průvodní zprávy: 50 - 60 stran textu

Seznam odborné literatury:

Guljajev: Litějnyje processy, Mašgiz 1960 Moskva

Kurčman: Točnoje liťjo, Oborongiz 1954 Moskva

Šklenník: Litjo po vyplavljaljem moděljam, Mašgiz 1961 Moskva

Doškář: Přesné lití do keramických forem, SNTL, Praha 1961

Články z odborných časopisů:

Modern Castings, roč. 1960, str. 109 - 118

Články ze slévárenských časopisů a výzkumných zpráv, které se týkají diplomního zadání

Vedoucí diplomní práce:

ř. prof. Ing. Bohumil Odstrčil

Konsultanti:

Ing. Jiří Spal

Datum zahájení diplomní práce:

2.10.1967

Datum odevzdání diplomní práce:

30.10.1967



Odstrčil
Vedoucí katedry
ř. prof. Ing. Bohumil Odstrčil

Hoschl
Děkan
Mř. prof. Ing. Cyril Hoschl

v Liberci dne 25. srpna 1967

OVĚŘENÍ ROTAČNÍHO VISKOSIMETRU NA KONTINUÁLNÍ
MĚŘENÍ VISKOSITY OBALOVÉ SMĚSI.

1.00 ÚVOD

Při výrobě odliatků metodou přesného lití do keramických forem je nutné, jak vyplývá z provozních zkušeností, dodržení určité konstatní viskosity obalové směsi, používané na obalování vytavitevních modelů. Pro sledování a tím i možnost dodržování konstatní viskosity, je tedy třeba použít vhodné měřící metody.

Jednou z dosavadních metod měření viskosity obalových směsí na basi etylsilikátu je na př. měření pomocí upravených Fordových pohárků, používané v n.p. PRESTRO v Uherském Brodě.

Fordovy pohárky jsou určeny k měření viskosity laků. Jsou to válcovité nádoby s kuželovým dnem, ve kterém je otvor \varnothing 4 mm. Měření se provádí tak, že pohárek se naplní po horní okraj měřenou směsí. Po uvolnění výtokového otvoru se měří doba výtoku směsi, až do okamžiku přetržení proudu. Čas se měří stopkami.

Protože obalové směsi pro výrobu keramických forem mají značnou sedimentační rychlosť a při měření normovaným pohárkem \varnothing 4 mm jsou časy značně vyšoké /více než 100 sec./, používá se Fordova pohárku upraveného, který má výtokový otvor převrtán na \varnothing 6 mm. Avšak i měření takto upraveným pohárem má řadu nevýhod. Hlavní z nich je nepřesnost, vzniklá osobní chybou obsluhy, která se pohybuje až kolem 5 %. Dále potom je to velká sedimentační rychlosť obalové směsi, takže během výtoku stoupá viskosity směsi. Při měření pak také dochází ke značné gelaci na stěnách pohárku, a proto je nutné po každém měření Fordův pohárek rádně očistit.

Z těchto důvodů a hlavně také proto, že pomocí Fordova pohárku nelze viskositu měřit kontinuálně, byly hledány nové a dokonalejší metody.

Na katedře slévárenství VŠST v Liberci byl navržen a zkonztruován rotační viskosimetr, který je určen pro kontinuální měření viskositety obalových směsí pro keramické skořepinové formy. Po zkouškách prototypu viskosimetru byly navrženy určité úpravy a nový přístroj byl vyzkoušen přímo v provozních podmínkách v n.p. PRESTRO v Uherském Brodě.

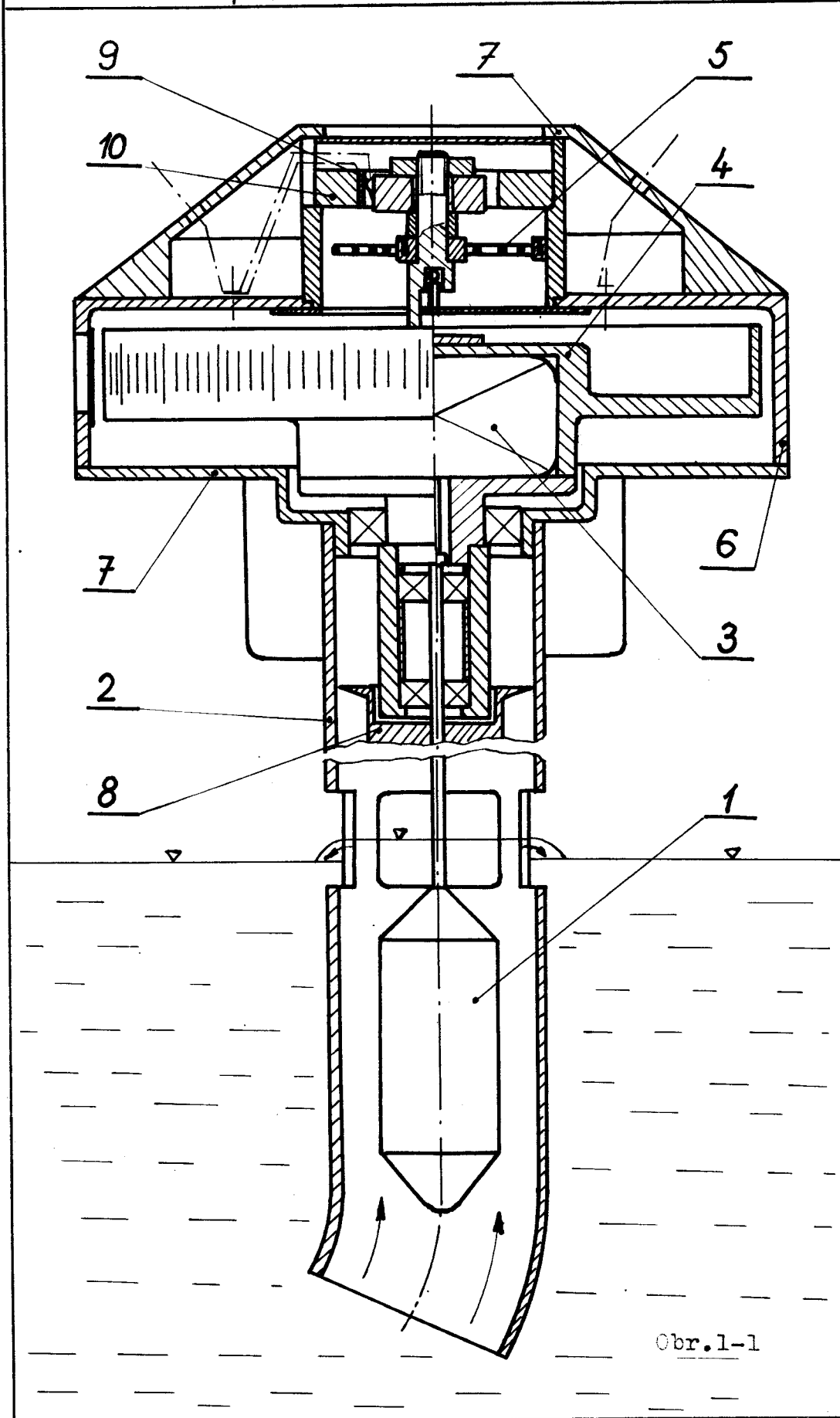
1.11 POPIS PŘÍSTROJE

Rotační viskosimetr /obr. 1-1/ určuje viskositu měřené směsi ze změny odporu, který klade tato otáčivému pohybu měřícího válečku /1/. Protože je přístroj určen pro měření suspensí, byl rotující váleček umístěn do nátrubku /2/ vhodného průměru, jímž suspense proudí rovnoměrnou rychlosťí opačného smyslu, než je rychlosť sedimentace. Měrný váleček je poháněn elektromotorem /3/, který je pevně uložen v rotoru /4/. Rotor je po svém obvodě opatřen stupnicí s rozsahem 21 dílků a je pohyblivě uložen v axiálním závěsu radiálním ložisku. Při běhu přístroje naprázdno je nulová poloha udržována pomocí předpětí spirálové pružiny /5/. Předpětím této pružiny je také možno regulovat citlivost přístroje. Tato měřící část je uložena v pouzdře /6/ s okénkem a pevným indexem k odčítání hodnot viskosity. Pouzdro je opatřeno dvěma víkami /7/.

Se změnou viskosity se mění odpor proti otáčivému pohybu válečku, který se spolu s motorkem a stupnicí natáčí v opačném smyslu oproti otáčení válečku. Aby se zamezilo případnému stříkání obalové směsi do přístroje a tím zanešení radiálních ložisek, je na hřídelce měrného válečku upemněn odstřikovací nákrúžek /8/. Jako materiál válečku, nátrubku,

30. října 1967

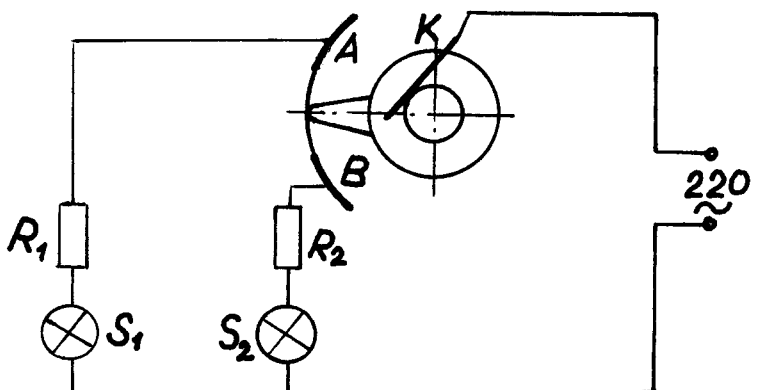
Listů 60 List. 3



Obr. 1-1

a odstřikovacího nákružku byl použit osvědčený PVC.

Příslušenstvím přístroje je elektrická signálizace. Tu tvoří jeden otočný kontakt /9/, pevně spojený s rotorem, který při svém natáčení propojuje elektrický proud přes dva pevné kontakty, uložené v nákružku /10/. Tento nákružek je nastavitelný, čímž je možno měnit jak rozsah, tak hodnoty signálizace. Do elektrického okruhu /obr. 1-2/ je zapojen signální panel se dvěma doutnavkami, které se rozsvěcí při překročení dovolené úchylky viskosity.



K - otočný kontakt

A,B - pevné kontakty

R₁,R₂ - odpory /75 kΩ/

S₁,S₂ - doutnavky /prac.nap.70 V/

obr. 1-2

1.21 OVĚŘENÍ VHODNOSTI POUŽITÍ ROTAČNÍHO VISKOSIMETRU V PROVOZNÍCH PODMÍNKÁCH

V n.p. PRESTRO v Uherském Brodě se k výrobě keramických skořepinových forem pro přesné lití používá metody fluidního zasypávání. Dle výrobního postupu se pro namáčení prvních obalů používá obalové směsi husté. Hustota obalové směsi se měří ponorným hustoměrem a dle technologického postupu se pohybuje 62-63 Bé /20-21 sec. F.P. Ø 6^{mm}/. Tyto první obaly se provádí ručním způsobem. Nanášení druhých, třetích a čtvrtých obalů se děje na automatické

obalovací lince, kde se používá obalovací směsi o viskositě 14 - 16 sec. F.p. $\phi 6 \text{ mm}$. Na této lince byla provedena měření.

Nádrž se směsí je zde řešena přepadem. Pracovní prostor k namáčení voskových modelů je oddělen od prostoru, ve kterém je čerpadlo, s přepadem. Čerpadlo vahní směs do pracovního prostoru spodem. K dokonalému promíchání směsi slouží ještě míchadlo, které je řemenovým převodem spojeno s čerpadlem a je umístěno v pracovním prostoru. Stejný smysl otáčení míchadla a čerpadla způsobuje vření směsi v jednom směru. Ustálené proudění směsi je v rozích pracovního prostoru, kde proudění není tak intensivní. V jednom z rohů byl umístěn viskosimetr. Upevněn byl pomocí upínky a přípravku, který umožnuje nastavení v různých polohách v axiálním směru, vzhledem k výšce hladiny obalové směsi /příloha 1./.

Po zapojení přístroje bylo provedeno několik krátkodobých zkoušek /po 10 hodinách/ bez předchozího cejchování a informativní ocejchování v malé nádobě s vlastním míchadlem, pro zjištění měřícího rozsahu přístroje s měrným válečkem $\phi 20 \times 80 \text{ mm}$. Směs byla postupně zahušťována křemennou moučkou. Kontrolní měření bylo měření pomocí For dova pohárku $\phi 6$. Tabulka 1-1 udává naměřené hodnoty.

číslo měř.	1	2	3
F.p. /sec./	9,6; 9,4; 9,6; 9,6	11,0; 11,2; 11,0	14,2; 14,1 14,2
výchylka /dílky/	2,5	5,2	8,5
číslo měř.	4	5	6
F.p. /sec./	16,7; 16,5; 16,6	18,8; 18,4; 18,5	22,8; 23,6; 23,6
výchylka /dílky/	12,8	16,5	18,5

tab. 1-1

Měření v malé nádobě s měnící se viskositou ukázalo, že rozsah přístroje při použití válečku Ø 20x80 je vyhovující. Tyto naměřené hodnoty jsou sice cejchovními hodnotami přístroje, ale protože na výchylku viskosimetru má také kromě viskosity, vliv proudění směsi, které je v malé nádobě, oproti proudění v provozní nádobě rozdílné, je možné správné cejchovní hodnoty provozní obalové směsi naměřit, až při konstatním ustavení viskosimetru v provozní nádrži.

**1.22 CEJCHOVÁNÍ A PROVOZ ROTAČNÍHO VISKOSIMETRU
V PROVOZNÍ NÁDOBĚ.**

Po informativních měřeních byl přístroj podrobен dlouhodobé zkoušce, kdy byl v provozu nepřetržitě 96 hodin. Během této zkoušky byl také ocejchován přímo v provozní nádrži. Průběh měření ukažuje tab. 1-2 a graf na obr. 1-3. Ocejchování přístroje bylo provedeno pomocí Fordova pohárku Ø 6mm. Pro provozní podmínky je toto řešení, co se týká přesnosti, vyhovující. Byla zde získána relace mezi dobami výtoku z Fordova pohárku a délky viskosimetru. Obalová směs pro Fordův pohárek byla odberána jednak z přepadu mezi pracovním prostorem a prostorem čerpadla a jednak z okolí viskosimetru. Vyšší hodnoty viskosity bylo možno získat před začátkem směny postupným ředěním obalové směsi, která přes noc zahoustne na viskositu 25 - 30 sec F.p. Ø 6.

Po této provozní zkoušce přístroje byla zapojena i signalizace. Vzhledem k tomu, že byla nutná výměna otočného kontaktu, došlo při montáži ke změně předpětí spirálové pružinky. Bylo sice možno opětně nastavit předpětí pružiny tak, aby výchylka přístroje odpovídala původní cejchovní křivce, ale protože se při nově nastaveném předpětí zvětšila citlivost přístroje a jak se ukázalo při vyhodnocení

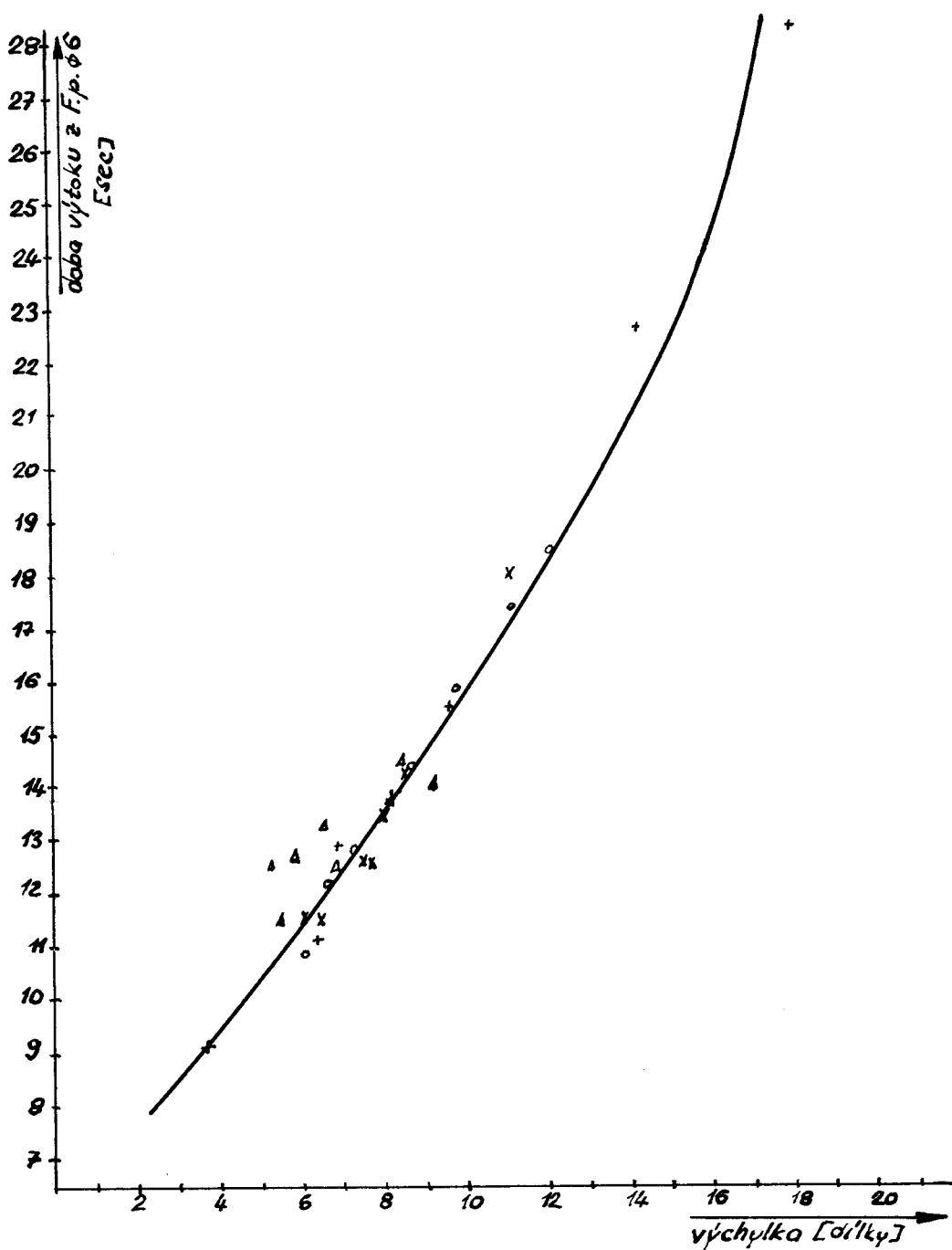
Interval měření /hod./	VISKOSITA /sec/F.P. Ø 6	výchylka /délky/	poznámka
0	18,4	12,1	zředěno
0,5	17,4	11,2	
0,5	14,3	8,7	
1	15,8	9,8	
3	12,2	6,4	zředěno
1	12,8	7,2	
1	10,8	6,0	
17	18,0	11,2	zředěno
1	14,2	8,7	
1	11,4	6,5	
2	12,7	7,5	
1	13,8	8,2	
1	12,5	7,5	zředěno
0,5	13,1	8,1	
0,5	10,4	5,7	zředěno
0,5	10,5	5,5	
0,5	11,4	6,2	
0,5	11,7	6,3	
14	28,1; 28,5; 28,3	18,1	cejch.hodnota
0,5	22,7; 22,8; 22,5	14,3	-- --
0,5	15,4; 15,6; 15,4	9,6	-- --
0,5	12,9; 13,0; 12,7	6,9	-- --
5	11,0; 11,2; 11,2	6,2	-- --
0,5	9,0; 8,8; 9,3	3,6	-- --
17	14,0	7,2	zředěno
0,5	13,2	6,5	
0,5	14,5	8,5	
1	12,8	5,8	zředěno
2	12,7	5,2	
2	11,5	5,8	
0,5	12,2	6,8	

tabulka 1-2

Dlouhodobého měření, byly původní cejchovní hodnoty získány téměř již v době, kdy přístroj začal vykovávat nepřesnosti /body, označené A - obr. 1-3/, byly naměřeny nové cejchovní hodnoty /tab. 1-3/ a z nich sestavena konečná cejchovní křivka viskosimetru /obr. 1-4/.

30. října 1967

Listů 60 List 8.



- + cejchovní hodnoty
- o hodnoty naměřené /17-25/ hod. provozu
- x hodnoty naměřené /42-51/ hod. provozu
- \Delta hodnoty naměřené /89-96/ hod. provozu

obr. 1-3

číslo měř.	1	2	3
F.p. 6mm /sec./	21,0; 21,2; 21,3	16,3; 16,4; 16,3	14,9; 15,2; 15,2
výchylka /dílky/	15,5	12,5	10,5
číslo měř.	4	5	6
F.p. 6mm /sec./	12,5; 12,7; 12,6	11,2; 11,5; 11,7	10,5; 10,6; 10,5
výchylka /dílky/	8,0	7,5	6,6
číslo měř.	7	8	
F.p. 6mm /sec./	8,2; 8,3; 8,4	7,8; 7,8; 7,7	
výchylka /dílky/	3,2	2,8	

tabulka 1-3.

Hodnota a /obr. 1-4/ udává rozsah nastavené signálizace. Při hodnotě viskosity menší, než 9,7 dílků, se na signálním panelu rozsvítí žárovka označená / - / a při hodnotě viskosity vyšší, než 12 dílků, se rozsvítí žárovka označená / + /.

1.31 ZHODNOCENÍ MĚŘENÍ A SPOLEHLIVOSTI VISKOSIMETRU

Jak vyplývá z hodnot, uvedených v tabulce 1 - 2 a vynesených v grafu na obr. 1 - 3, pracoval přístroj po dobu 70 - 80 hodin spolehlivě, bez větších odchylek. V celku citlivě reagoval na změnu viskosity, která byla převážně způsobena vypařováním etylalkoholu ze směsi a občasným ředěním vaznou

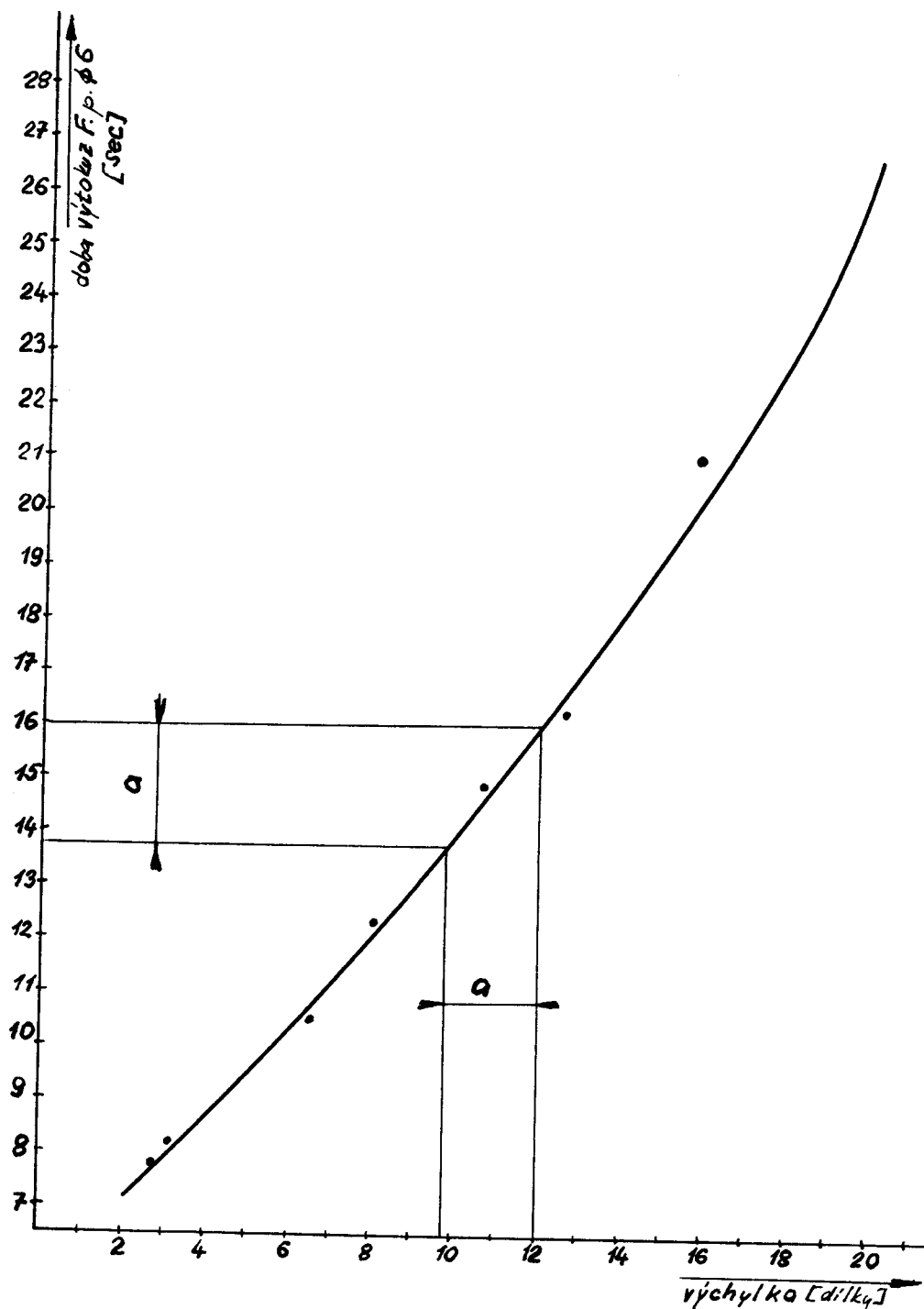
VŠST LIBEREC
FAKULTA STROJNÍ

Ověření rotačního viskosimetru
na kontinuální měření viskosity
obalové směsi a studium flu-
idního zasypávání keramických
skořepinových forem.

DP-ST 575/67

30. října 1967

Listů 60 List 10



a rozsah signalisace

obr. 1 - 4

kapalinou. Po 80 hod. provozu nabývají některé naměřené hodnoty určitých odchylek od cejchovní křivky. Zároveň již nános směsi na okénkách nátrubku je dosti značný. Zakrývá všechny 4 okénka z 55 - 60 %.

Také na hřídelce měrného válečku se utvořil nános. Tento nános však výchylku prakticky neovlivňuje, jak bylo zjištěno již při dřívějších měření. Přesto však bude lépe chránit hřídelku epoxidovým nátěrem. Ostatní činné části přístroje byly, po

96 hodinách provozu vcelku bez nánosu a ponořením do etylalkoholu se daly snadno očistit. Odchylné hodnoty měření po 80 hodinách provozu tedy byly způsobeny zanešením okének. K malým změnám výchylky přístroje dochází také při změně výšky hladiny, včetně okénku nátrubku. Při výrobě s pečlivým dodržováním technologického postupu, dle kterého rozdíl hladin v případu nemá být větší, než 150 mm, se hladina směsi udržuje prakticky v konstatní výši. Částečné omezení nasychání směsi je možné také oddělením prostoru viskosimetru od pracovního prostoru. Výřivým pohybem směsi v nádobě vznikají rázy, jež se projevují malým kolísáním hladiny. Toto kolísání se ještě zvětšuje pohybem modelů v nádobě. Oddělení by bylo možné na př. dvěma stěnami, jež by vyčnívaly nad hladinu a bránily by tak rozkmitání hladiny vířením směsi.

Během měření dochází také občas k zakolísání výchylky zmenšením nebo ucpáním mezery mezi válečkem a nátrubkem úlomky voskových modelů. I když úlomky modelů se v nádrži nemají vyskytovat, nebo mají být ihned obsluhujícím dělníkem odstraněny, není možno jim úplně zabránit. Byl učiněn pokus s použitím síta přímo na ústí nátrubku. To se neosvědčilo, protože během 3 hodin bylo již síto zanešeno. Proto bylo upevněno síto na upínacím přípravku a jeho vzdálenost od ústí nátrubku je asi 2 cm, takže síto je neustále omíláno obalovou směsí. V tomto případě

stačí síto očistit jenom jednou týdně, přičemž síto částečně omezuje vnikání voskových úlomků do nátrubku viskosimetru.

Provedená měření ukázala, že viskosimetr má nesporné výhody, oproti měření pomocí Fordova pohárku. Bude však nutno, pro spolehlivost výsledků, viskosimetr během týdne alespoň dvakrát vyjmout z nádrže a očistit. Pro přesnější ověření spolehlivosti viskosimetru bude třeba provést několik dlouhodobých zkoušek. Toto nebylo z časových důvodů možné uskutečnit, a proto byl přístroj ponechán v n.p. PRESTRU Uheršský Brod k dlouhodobému ověření spolehlivosti.

**STUDIUM FLUIDNÍHO ZASYPÁVÁNÍ KERAMICKÝCH
SKOŘEPINOVÝCH FOREM**

2.00 Ú V O D

Přesné lití do keramických skořepinových forem je jednou z nejpokrokovějších metod, používaných ve slévárenství, která umožňuje odlévat téměř všechny kovy a jejich slitiny, a to i do velmi komplikovaných tvarů.

Princip této metody spočívá v tom, že se model, vyrobený spolu s vtokem z materiálu, který se taví při nízké teplotě, na př. vosku, několikrát střídat v obalí keramickou obalovou směsí a posype tuhými zrnitými částičkami, čímž vznikne poměrně tenkostěnná keramická forma. Ohřátím na příslušnou teplotu se model i se vtokem vytaví, takže ve formě vznikne dutina, která je prostorovým negativem modelu s vtokem. Po vyžíhání se keramická skořepinová forma vyplní roztaveným kovem. Odlitek, vytlučený po zchladnutí, je tvarově shodný s modelem.

Účinné obalení voskových modelů je jednou ze základních podmínek pro výrobu dokonalých odliatků. Normálním způsobem nanášení tuhých částiček, je ruční nebo mechanické zasypávání namočeného modelu sil u gravitace. Tento způsob je zdlouhavý a vyžaduje velkou manipulaci. U složitých tvarů se dosahuje dosti obtížně stejnoměrného obalení. Hledáním zlepšené technologie nanášení částiček při obalování modelů se dospělo k plynné fluidizaci. Obalovací procesy, při kterých se používá plynné fluidizace částiček, byly již v široké míře zavedeny v průmyslu plastických hmot.

2.11 PRINCIP FLUIDNÍHO ZASYPÁVÁNÍ

Fluidisace tuhých částiček je proces, při kterém se vrstva částiček uvádí do stavu neustálého výření. Plynná fluidisace se provádí zaváděním plynu, zkrze vrstvu tuhých částiček. Vrstva se v rozvířením nebo fluidizovaném stavu chová v mnoha ohledech jako kapalina. Tento jev umožňuje úplné ponoření namočených modelů do fluidisační vrstvy, k obalení keramickými částičkami.

2.12 TEORETICKÝ ROZBOR FLUIDNÍ VRSTVY
/literatura 5; 6; 7; 8/

Fluidní vrstvy je možno uskutečnit ve svislých nádobách libovolného tvaru s vodorovnými porézními přepážkami, které rozdělují průtok fluidní tekutiny, již může být plyn i kapalina, rovnoměrně po průřezu.

Při průtoku tekutiny vrstvou tuhých částic vzhůru, t.j. proti smyslu gravitačního zrychlení, nezávisí vzájemná poloha částic na rychlosti průtoku tekutiny až do jisté mezní hodnoty, při níž dojde ke kvalitativní změně vlastností celého systému.

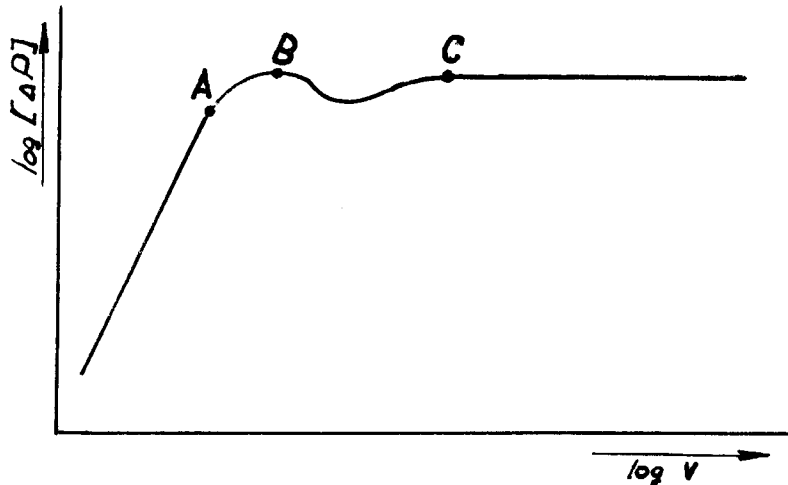
Částice se totiž při dosažení této mezní hodnoty rychlosti tekutiny začnou mísit a vrstva částic nabude vlastností srovnatelných s vlastnostmi kapaliny. Proto se jí říká fluidní vrstva. Změna stavu nehybné vrstvy ve fluidní je označována jako práh fluidisace a veličiny charakterizující tuto změnu jsou označovány jako prahové /5./.

Zvýšení rychlosti průtoku tekutiny nad prahovou rychlosť fluidisace, způsobí zvětšování vzdálenosti mezi jednotlivými částicemi a tím i

zvětšování objemu vrstvy. To je další kvalitativní rozdíl, charakterisující změnu nehybné vrstvy ve fluidní.

Průchod plynu svislou vrstvou tuhých zrnitých částic je doprovázen poklesem tlaku, způsobeným především vzájemným třením. Zvětšování tohoto podélného gradientu tlaku je doprovázeno zvětšováním rychlosti plynu.

Křivka na obrázku 2-1 znázorňuje změnu poklesu tlaku ΔP , v závislosti na povrchové rychlosti plynu v , pro obecný případ.



obr. 2-1

Bod A značí začátek proudění fluidisované tekutiny. Za tímto bodem již vrstva není pevná.

Bod B je bod fluidisace /práh/, definovaný jako bod, kde antilogarismus pořadnice je totožný s váhou vrstvy částic na jednotku plochy průřezu, minus tlačná síla proudícího prostředí, působící na tento sloupec částic /6./.

Pórovitost vrstvy se začíná zvětšovat v bodě A, jako funkce vzrůstající rychlosti plynu. Teoreticky se přiblíží stejné rychlosti, jako mezní rychlosť při rychlosti odpovídající konečné rychlosťi volného usazování částičky v plynném

mediu. V bodě C jsou všechny částice v pohybu. Ten-
to bod je znám, jako bod úplné fluidisace. Podélný
tlakový spád je poměrně konstatní při rychlostech
plynu větší, než je rychlosť plynů v bodě C. Vzky-
pání plynových bublin, prorážejících na povrch
vrstvy a způsobujících vynořování shluků z povrchu
vrstvy začíná v bodě A a zesiluje se vzrůstající
rychlosť plynů. Tento jev vzniká do jisté míry
tím, že si poměrně velký objem plynu volí některé
nahodilé cestičky zkrze vrstvu.

Antilogaritmus pořadnice v bodu fluidisace
je velikost poklesu tlaku, potřebného k fluidisaci
určité vrstvy částiček. /6./. Jeho hodnotu, opí-
rající se o definici bodu fluidisace, lze vyjádřit
jako parametry vrstvy takto:

$$P = Z /l - F/ /Ps - Pg/ \quad /1/$$

kde Z je výška vrstvy nehybných částiček
F je póresnost vrstvy nehybných částiček
Ps je hustota nehybných částiček
Pg je hustota plynu

Fluidisace daného systému nastává při po-
vrchové rychlosti plynu, známé jako minimální /pra-
hová/ fluidisační rychlosť /rychlosť v bodu B -
obr. 2-1/. Pokusy se systémy fluidních vrstev uká-
zaly, že kriteriem proudění způsobeného plynem je,
aby Troudovo číslo /Fr/ bylo větší než jedna.
Troudovo číslo, skupina výrazů bez rozměrů, je
definováno vzorcem:

$$Fr = \frac{v^2}{g \cdot D} \quad /2/$$

kde v je rychlosť proudění
g je gravitační zrychlení
D je střední průměr častic
všechno v základních jednotkách .

Jedním z důležitých pojmů pro fluidní vrstvu je také pórovitost. Je to relativní mezerový objem /volný objem mezi částičemi/, stažený k celému objemu vrstvy /5./.

$$F = \frac{V_b - V_{sb}}{V_b} = 1 - \frac{V_{sb}}{V_b} \quad /3/$$

kde F je pórovitost
 V_b je objem vrstvy částic
 V_{sb} je vlastní objem částic

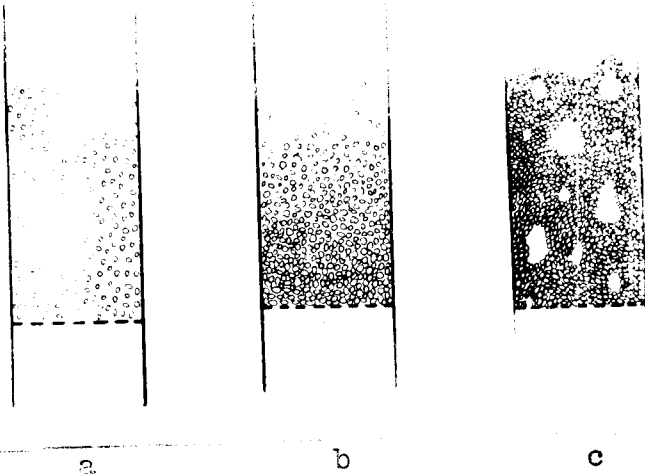
Na základě dříve uvedených zkušeností, bylo možné sestavit tabulky, udávající minimální rychlosť proudění, jakožto funkci průměru částice. Nicméně optimální rychlosť plynu odpovídá bodu C /obr. 2 - 1/ a je nepatrně vyšší než rychlosť proudění.

Rychlosť průtoku tekutiny ve fluidní vrstvě není omezena jen prahovou rychlosťí fluidisace. Při větších rychlostech, od jisté mezní rychlosti, která závisí na výšce nádoby, začnou částice z nádoby ulétávat. Aby hodnota úletové rychlosti pro tytéž částice byla konstantní, předpokládá se úlet částic z nekonečně vysoké nádoby. Mezní hodnota úletové rychlosti je označována jako práh úletu. Při rychlostech tekutiny jen málo překračujících prahovou rychlosť fluidisace, bývá měrná váha fluidní vrstvy řádově 1000 kg / m³, na rozdíl od fluidní vrstvy při rychlostech převyšujících prahovou rychlosť úletu /při pneumatické dopravě částic/, kdy bývá řádově 10 kg na m³.

2.13 DRUHY FLUIDNÍCH VRSTEV / 5 /

Při ustáleném průtoku může tekutina protékat vrstvou několika způsoby. Záleží při tom na velikosti, množství a tvaru částic, na velikosti zařízení i na uspořádání poresní přepážky.

Nejjednodušším typem fluidní vrstvy je rovnoměrná fluidní vrstva. Vzniká při fluidisaci částic téhož tvaru a stejné váhy a nejčastěji tehdy, je-li fluidisační tekutinou kapalina. Částice jsou v tekutině rovnoměrně rozptýleny, jak je znázorněno na obr. 2 - 2a. Koncentrace částic je v celé vrstvě konstantní a nezávislá na čase a rozměrech zařízení.



obr 2 - 2

Závisí-li koncentrace částic ve fluidní vrstvě na poloze kontrolního objemu ve vrstvě částic nebo na čase, po případě na obou veličinách, je taková vrstva nerovnoměrná. Dynamické vlastnosti této vrstvy jsou podmíněny mnoha fyzikálními veličinami a závisí i na rozměrech zařízení.

Při fluidisaci nestejně velkých částic téhož tvaru v kapalinách se částice vytrádí podle velikosti a to tak, že nejtěžší jsou u dna zařízení.

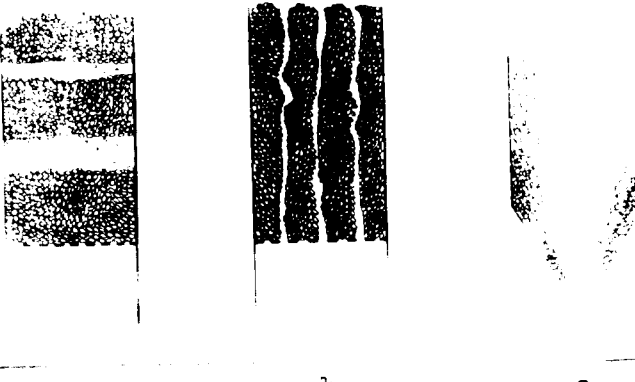
Čím jsou částice menší, tím jsou od sebe více vzdáleny a vrstva je řidší. Podobně při fluidisaci stejně velkých častic téhož tvaru, ale odlišné měrné váhy, dojdou k vytřídění, při němž jsou částice s větší měrou vahou u dna zařízení. Protože se částice ve vrstvě třídí, nazývá se tato vrstva třídící /obr. 2 - 2b/. Koncentrace častic se opět nemění s časem. Na rozdíl od rovnoměrné fluidní vrstvy, závisí však koncentrace častic na svislé vzdálenosti od pohledu na plochu.

Plyny obvykle protékají fluidními vrstvami v bublinách. Jsou-li bublinky malé, hladina častic se mírně vlní a připomíná vroucí kapalinu. Jsou-li bublinky větší, proráží hladinou častic v několika místech a částice vystřikují vysoko nad hladinu. Taková vrstva se označuje jako vrstva bublající /obr. 2 - 2c/. Sledujeme-li koncentraci častic v libovolně zvoleném kontrolním objemu, pak při průtoku bubliny plynu nebo její časti, nemusí být ve sledovaném objemu žádná částice, nebo jejich tam jen málo ve srovnání s následujícím okamžikem, kdy je celý kontrolní objem česticemi zaplněn. Koncentrace častic se tedy v kontrolním objemu mění s časem a jsou-li částice nejstejně velké, může záviset i na poloze kontrolního objemu v bublající vrstvě.

V zařízení malých rozměrů mohou bublinky tekutiny vyplnit celý průřez zařízení a oddělit od sebe "písty" častic /obr. 2 - 3a/. Pak se jedná o pístující vrstvu. "Písty" častic postupují zařízením zvolna vzhůru a u hladiny vrstvy se rozpadají za současné tvorby nových pístů u dna zařízení.

Při fluidisaci plyny se často vytváří ve vrstvách jemných častic velmi silné elektrostatické pole, jehož silovými účinky se utlumí a zastaví

směšovací pohyb částic. Částice se sice míší několik okamžiků po dosažení prahu fluidisace, ale míšení rychle ustane a plyn prorazí několika kanálky znehybnělou vrstvou. Taková vrstva se nazývá kanálku-jící /obr. 2 - 3b/.



obr. 2 - 3

Vliv uspořádání póresní přepážky fluidisačního zařízení se nejlépe projeví při přívodu potřebného množství fluidisační tekutiny v jednom místě. Vzniklé vrstvě při tomto uspořádání se říká tryskající /obr. 2 - 3c/ a je kombinací různých typů pohyblivých vrstev. Vznik této vrstvy ukazuje, že uspořádání přívodu tekutiny do fluidisační vrstvy má často vliv na dynamické vlastnosti fluidní vrstvy. Póresní přepážka je označována jako dno nebo rošt a je nutné její konstrukci věnovat velkou pozornost / 7. /.

2.14 OBLASTI VE FLUIDNÍ VRSTVĚ

Ve fluidní vrstvě jsou zřetelné 3 oblasti /5/. První oblast je nad roštem, kde se vytváří charakteristický průtok tekutiny, jež určuje vlastnosti dalšího objemu fluidní vrstvy. Tato oblast je nazývána jako oblast kritická.

Druhá oblast je charakterisována téměř konstantní hodnotou pórositosti. Vlivem průtoku tekutiny v bublinách nedojde k úplnému roztrídění částic a směs částic je poměrně dobře promíšena v celém objemu vrstvy s konstantní pórositostí.

Ve třetí oblasti dojde k vytrídění částic podle velikosti a expanse v této části fluidní vrstvy je obdobná expansi vrstvy třídící.

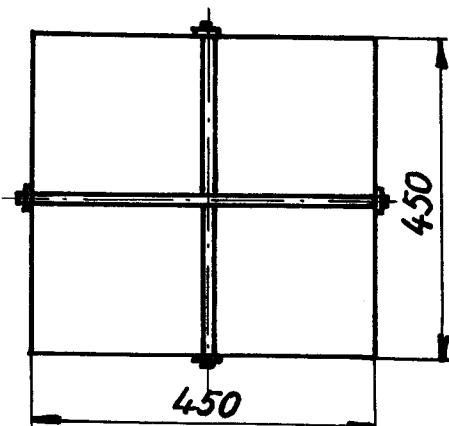
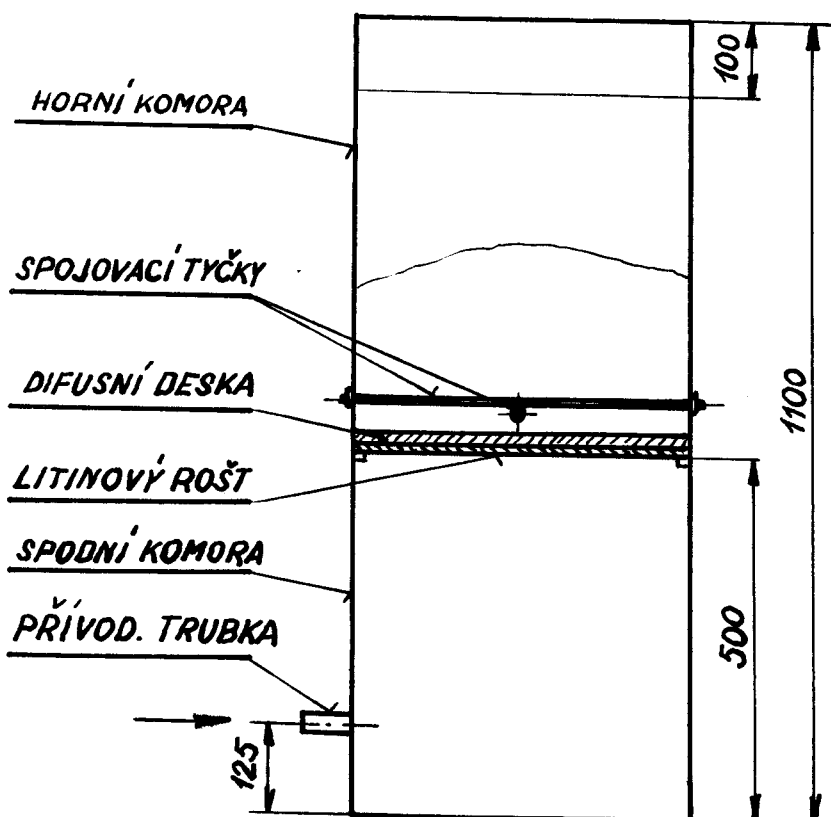
2.15 APLIKACE TEORIE FLUIDNÍ VRSTVY NA FLUIDNÍ ZASYPÁVÁNÍ KERAMICKÝCH SKOŘEPINOVÝCH FOREM

Fluidní vrstva směsi částic různých velikostí je vždy nerovnoměrná. Protože se ve fluidním lůžku při obalování keramických skořepinových forem jako fluidní tekutiny používá plynu a tuhé částice jsou nestejně velikosti a nestejného tvaru, může zde vzniknout, vroucí, bublající nebo pístující vrstva.

Zařízení, v němž se vytváří fluidní lůžko, je velmi jednoduché konstrukce. Skládá se ze dvou vertikálních komor, oddelených horizontální rozptylovou deskou. Spodní komora je vysokotlaká, napojena na potrubí, přivádějící plyn. Horní komora obsahuje vrstvu proudících částic. Rozptylová deska zajišťuje rovnoměrné rozdělení proudících částic v horní komoře. Materiál pro konstrukci tohoto systému musí být tuhý a nepropustný pro proud částic.

Rozměry horní komory musí být voleny tak, aby se mohly pomořovat velké sestavy modelů.

Jako příklad zařízení pro fluidní obalování keramických skořepinových forem je zde uvedeno ^{tedy} ze zařízení, které je dle pramenů s úspěchem používáno v některých slévárnách v USA, a které se v podstatě o mnoho neliší od zařízení používaného v n.p. PRESTRO v Uherském Brodě /obr. 2 - 4/.



obr. 2 - 4

Při navrhování obou vertikálních komor se konstruktéři přidrželi obvyklé konstrukce. Plocha průzezu každé komory byla specifikována jako pravouhelník s neměnnými rozměry. Tato odchylka od obvyklé konstrukce fluidního lože byla udělána proto, aby mohla spodní komora, kromě své funkce jako rezervuár plynu, působit jako konstrukční základna zařízení, aby se v horní komoře při s anovených celkových rozměrech dosáhlo maximálního pracovního objemu.

Konstrukčním materiélem je standartní americký plech 20. Tuhost vertikálních stěn udržuje vhodně umístěné spojovací tyčky. Jako suport pro desku slouží litinový rošt.

Jako fluidisační medium byl zvolen stlačený vzduch, pro svou dostupnost, levnost a inertnost. Ve vrstvách částiček byly použity částičky kysličníku hlinitého o průměru 0,35 a 0,15 mm a částičky kysličníku křemičitého o průměru 0,29 mm. Všechny tyto tři velikosti částiček se běžně používají pro výrobu obalových forem amerických slévárnách.

Úplná fluidisace všech vrstev částiček byla dosažena použitím difusní desky z poresní žáruvzdorné cihly a regulovaným přívodem fluidní látky ze zdroje s měridlem při tlaku $6,3 \text{ kp/cm}^2$.

Nanočené modely byly ponořovány do fluidisační vrstvy a obalovány všemi třemi velikostmi částiček. Ve srovnání s dřívějším způsobem trvala fluidisační technologie pouze několik vteřin. Vyžadovala jednoduchý pohyb stromečkem a všechny tvary se obalily rychle a stejnomořně, a vyloučila se možnost poškození modelu proudem částiček. Novou metodou se snížilo množství rozpylených částiček a odstranilo se znečištění ovzduší prachem. Kromě toho zařízení je levnější, než jakékoli jiné mechanické zařízení, užívané pro plynulé obalování.

K údržbě systému stačí pouze občasné prosetí vrstvy částic, aby se odstranily nečistoty, které se během provozu nahromadí.

2.20 MĚŘENÍ V n.p. PRESTRO V UHERSKÉM BRODĚ

Slévárna přesného lití n.p. PRESTRO v Uherském Brodě patří mezi pokrokové slévárny, kde se k výrobě keramických skořepinových forem používá fluidního zasypávání. Celý provoz slévárny je zaměřen na lití nízkouhlíkatých a některých lemovaných ocelí. Váha jednotlivých odlitků se pohybuje řádově mezi stovkami až několika tisíci gramu. Roční výroba je zhruba 150 t/rok.

2.21 STRUČNÝ TECHNOLOGICKÝ POSTUP VÝROBY VE SLEVÁRNĚ

Pro výrobu modelů slouží modelová hmota o s ohření 50 % parafinu, 35 % stearinu a 15 % ceresínu. Z této hmoty se vytvoří vosková pasta, obsahující 7 - 10 % vzduchu a ta se vstříkuje pomocí vstříkovacího lisu do modelových forem pod tlakem 1 kp/cm². Výroba prvních obalů se provádí namáčením do obalové směsi, kontrolované hustotou, ručně. Hustota obalové směsi se pohybuje 62 - 63°Be /20 - 21 sec. Ep. Ø 6/. Zasypávání se provádí také ručně ve fluidním lůžku s jemnějším pískem T 2 S. Obalování druhých až čtvrtých obalů se provádí na automatické obalové lince. Pro výrobu druhých až čtvrtých obalů se používá obalové směsi o viskositě 14 - 16 sec. Ep. Ø 6

a hrubšího písku T2N ve fluidním loži, včleněném do automatické obalovací linky. Písek T2N je skladován venku a před použitím se suší v sušicím zařízení /100 - 120 °C/ a zároveň třídí pomocí rotujících sít na rozsah 0,3 - 1,3 mm. Pro přípravu směsi platí následující výrobní předpisy:

K přípravě se používá mletý křemen FF, jehož zrnitost, dle sítového rozboru bývá následující:

Velikost otvorů síta /mm/	Zbylý podíl /%/
0,2	0,0
0,12	max. 2,5
0,06	15
pod 0,06	min. 82,5

Kapalným pojivem je koloidní roztok SiO₂ připravený hydrolytickým štěpením esterů kyseliny křemičité. K přípravě vazné kapaliny se používá německý etylsilikát.

Postup:

Do míchačky se naleje vypočtené množství etylalkoholu, asi 18 litrů a přidá se kyselina solná /HCl 1:12/ asi 1,5 litrů. Za míchání se přidá potřebné množství etylsilikátu, asi 7,5 l. Po krátkém míchání, 3 - 5 minut, se vsype mletý křemen, asi 63 kg. Po vsypání mletého křemene se míchá jednu hodinu. Potom se nechá směs odstát 2 hodiny a může se použít k obalování.

Pro zředění obalové směsi se používá hydrolysovaného etylsilikátu, vyrobeného dle předpisu:

Do nádoby hydrolyseru se naleje 6 litrů etylsilikátu a za stálého míchání se pomalým proudem přileje 6 litrů etylalkoholu. Po 10 minutách se velmi malým proudem přileje 700 cm³ kyseliny solné /HCl 1:12/ a míchá se 30 minut. Pak se přileje velmi malým proudem 300 cm³ kyselina

solná /HCl 1:12/ a míchá se 30 minut. Tím je hydrolyza ukončena. Roztok se nechá 24 hodin ustát.

Zahušťování se provádí namíchanou hustou břečkou.

Teplota při ručním obalování nemá přesáhnout 22°C , při mechanickém obalování nemá přesáhnout 20°C . Správná vlhkost v relaci k teplotě se udržuje pomocí rozprašovače vodní páry.

Sušící doba mezi jednotlivými obaly je 3 - 4 hodiny.

Vytavování modelů se provádí v horké vodě $/90 - 100^{\circ}\text{C}/$ 10 minut a potom se suší 24 hodin v regále.

Žíhání se provádí v žíhací vozové peci při teplotě $900 - 1000^{\circ}\text{C}$ po dobu 5 - 6 hodin.

Odlévání se provádí při teplotě $650 - 950^{\circ}\text{C}$. Odlévají se jak samonosné, tak i zasypané skořepiny. Tavení oceli se užívá tavící pece kelímkové ISTOL 100/40 /jmen. nap. 800 V; 2000 C/sec.; jmen. topný příkon 100kVA; jmen. provozní teplota $1600^{\circ}\text{C}/$.

**2.30 STUDIUM FLUIDNÍHO LUŽKA POUŽÍVANÉHO
V n.p. PRESTRO UHERSKÝ BROD.**

Studium bylo zaměřeno převážně na fluidní lůžko, včleněné do automatické obalovací linky. Namáčení modelů obalové směsi a vstup do fluidního lůžka je názorně vidět na obr. 2 - 5.

Závěsy, na nichž jsou připevněny modely /stromečky/ konají, kromě svého posuvného pohybu, ještě pohyb rotační a současně opisují prostorovou křivku.



obr. 2 - 5

Průchod fluidním ložem a výstup fluidního
lože je uveden na obrázku 2 - 6.

V hořejší části obrázku 2 - 6 je zachycena
část odsávacího zařízení a ústí zásobníku písku
pro doplňování hladiny při obalování. Ve spodní
části jsou zachycena dvě přepadová síta Ø ok
3 mm. Přepadlý písek přes okraje fluidního
lůžka a přes tyto síta, je hnán pomocí stlačeného
vzduchu opět do fluidního lůžka.

30. října 1967

Listů 60 List 28



obr. 2 - 6

Konstrukce zařízení je podobná konstrukci fluidního lůžka, uvedené na obrázku 2 - 4.

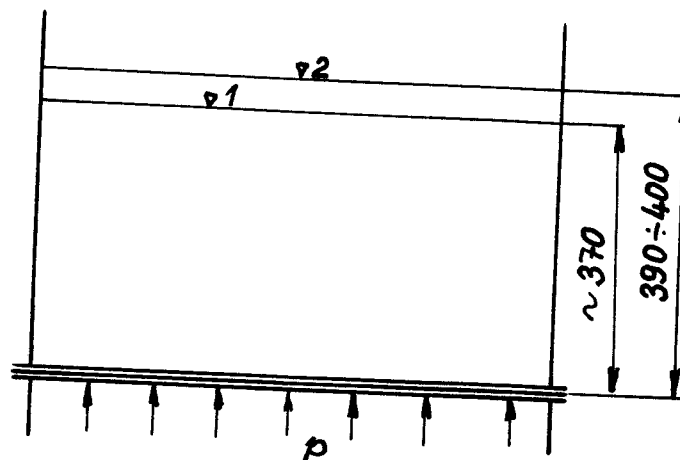
Půdorys tvoří obdélník o rozměrech 500 x 700 mm.

Jako materiál difusní desky byla zvolena plst, z obou stran překrytá děrovaným plechem.

Jako fluidisační medium byl použit stlačený vzduch, odebíraný z rozvodného potrubí. Tlak vzduchu je regulován pomocí průchozího ventilu nátrubkového a je odečítán na tlakoměru. V provozu se však tlak nastavuje převážně visuálně, dle zkušeností obsluhujícího pracovníka. Tento tlak se pohybuje mezi 0,7 - 0,9 kp/cm².

Výška nehybné vrstvy obalovacího písku /hladina 1 - obr. 2 - 7/ se po naplnění pohybuje průměrně okolo 370 mm. Výška fluidní vrstvy při průchodu stlačeného vzduchu /0,8 kp / cm²/ znázorňuje hladina 2.

Průměrné zvětšení objemu při přechodu z nehybné vrstvy ve fluidní, při tlaku 0,8 kp/cm² je tedy průměrně o 7 % objemových.



obr. 2 - 7

2.40

**SLEDOVÁNÍ ZMĚNY ZRNITOSTI ZÁSYPOVÉHO PÍSKU
A VLIIVU ZMĚNY VISKOSETY NA PEVNOST A PRODÝŠ-
NOST KERAMICKÝCH SKOŘEPINOVÝCH FOREM.**

Při praktickém studiu fluidního lůžka bylo nutné některé zkoušky podředit výrobnímu procesu a výrobním podmínkám ve slévárně, aby nedošlo k narušení plynulé výroby nebo i případně zvýšené zmetkovitosti.

Protože ve slévárně v n.p. PRESTRO se na zasýpání modelů používá výhradně fluidního způsobu, není zde instalováno zařízení pro gravitační zasýpání. Gravitační způsob bylo tedy nutno improvisovat ručním posýpáním lopatkou z výšky 400 - 500 mm.

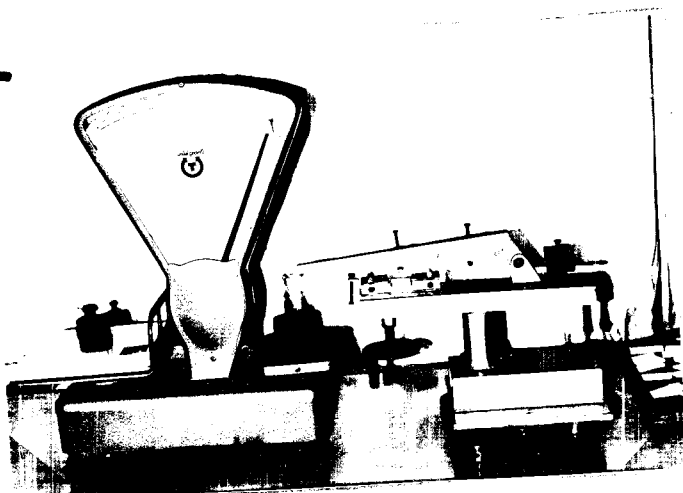
Tato výška byla dle informací poskytnutých vedoucím slévárny u dříve používaného gravitačního zasýpače. Zásypový písek pro gravitační způsob byl odebírána z fluidního lůžka.

Odečtení nastavených tlaků vzduchu bylo možné pouze u fluidního lůžka automatické obalové linky. U fluidního lůžka se zásypovým pískem pro první obal byly tlaky nastavovány pouze visuálně, protože zde nebyl instalován tlakoměr.

Pro obalování zkuebních vzorků bylo použito korýtkových modelů předepsaného tvaru a předepsaných rozměrů, navržených KSL VŠST Liberec, které byly vyrobeny dle předepsaného výrobního postupu závodu.

Pevnost pohybu a prodyšnost byla měřena na zkuebních tyčinkách vzniklých jednak stíráním na hranách modelu v průběhu obalování a jednak rozbrusených po vytavení a vysušení.

Zkouška pevnosti v ohýbu spočívá v postupném zatěžování zkuební tyčinky, uložené na dvou podporách, osamělou silou uprostřed, až do lomu /obr. 2 - 8/.



obr. 2 - 8

Pevnost v ohybu / σ_{po} / je napětí, vy-
počtené jako podíl ne většího dosaženého ohybo-
vého momentu při zkoušce a modulu průzezu v ohybu
podle obecného vzorce:

$$\sigma_{po} = \frac{P}{4W} \cdot \frac{l_0}{h^2} \quad /kp/cm^2/ \quad /4/$$

poněvadž $W = \frac{b \cdot h^2}{6}$ /cm³/ platí pro výpočet

pevnosti v ohybu vzorec:

$$\sigma_{po} = 1,5 \frac{P}{b} \cdot \frac{l_0}{h^2} \quad /kp/cm^2/ \quad /5/$$

kde σ_{po} je pevnost skořepiny v ohybu /kp/cm²/
 P je největší síla, dosažená při zkoušce
/kp/

l_0 je vzdálenost podpor /cm/

h je tloušťka vzorku /cm/

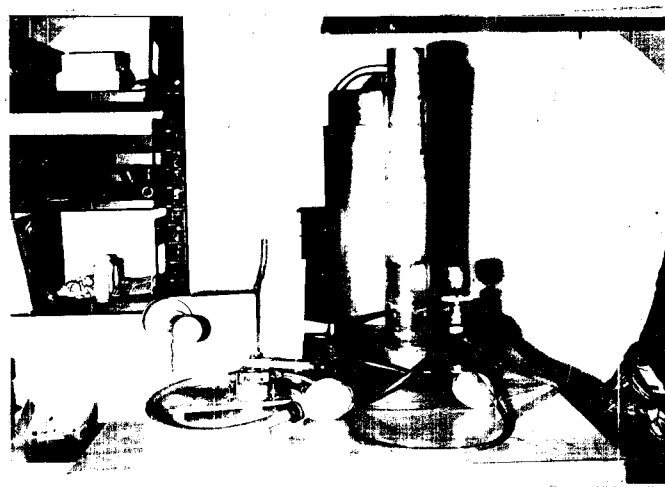
Rozměry zkoušebních tyčinek a jejich dovo-
lené úchytky jsou uvedeny v tab. 2 - 1.

Označení zkušební tyče	Nejmenší délka tyče	Šířka tyče	Doporučené rozmezí tl. tyče	Doporučený způsob přípravy
l ₀ /mm/	l /mm/	b/mm/	h /mm/	
100	110	25±0,2	4 - 6	4 vrstvy /obaly/
50	55			

tabulka 2 - 1

Zkoušky pevnosti byly provedeny na nevyží-
haných vzorcích.

Prodyšnost byla měřena na přístroji vyvi-
nutém na VŠST Liberec, "průtokovou" metodou
/obr. 2 - 9/.



obr. 2 - 9

Měří se čas potřebný k průchodu konstatního objemu /100 cm³/ vzduchu vzorkem, při konstantním tlaku p = 100 mm v.s.

Prodyšnost se stanoví ze vzorce :

$$P = \frac{V \cdot h}{F \cdot p \cdot t} \quad /njp/ \quad /6/$$

kde P je prodyšnost vyjádřená v normálních jednotkách prodyšnosti /njp/
V je objem vzduchu prošlého plochou zkušebního tělíska /cm³/
h je tloušťka /výška/ zkušebního tělíska /cm/
F je měřená plocha zkušebního tělíska /cm²/
p je přetlak vzduchu /cm v.s./
t je doba průchodu vzduchu /min./

Zkoušky prodyšnosti byly provedeny na vyžíhaných vzorcích, jednak proto, že prodyšnost na syrových vzorcích, vzhledem k tomu, že byly zalepeny voskem, ukazovala veliký rozptyl hodnot a také proto, že prodyšnost keramických skořepinových forem v syrovém stavu nemá praktického významu, protože se odlévá pouze do forem vyžíhaných.

Zrnitost zásypového písku byla určena dle sítového rozboru ze vzorků o váze 100 g. Vzorky byly přes sítovým rozbořem sušeny 2 hodiny při 100° C. Doba vysývání byla 15 minut navýstředníkovém vysívacímu.

2.41 ZMĚNA ZRNITOSTI ZÁSYPOVÉHO PÍSKU V ZÁVISLOSTI NA TLAKU, HLBCE A NA POČTU OBALENÝCH FOREM

Při sledování zrnitosti zásypového písku byly odebírány z fluidního lůžka vzorky pomocí skleněné trubičky a z těchto vzorků byly provedeny sítové rozborové. Změnu zrnitosti zásypového písku pro 2 - 4 obaly, t.zn. hrubšího, v závislosti na tlaku, hlbce a na počtu obalených forem, je přehledně uvedena v tabulce 2 - 2.

Vzorky označené A jsou vzorky, odebrané po obnově písku před vlastním obalováním. Obnova písku spočívá v tom, že na začátku každé směny se fluidní lůžko vyčistí, zbylý písek se proseje přes síto 3 mm, vrátí se do fluidního lože a zároveň se doplní asi 30 % nového písku o složení C ze zásobníku.

Vzorky označené B jsou vzorky odebrané po 100 kusech obalených modelů. To je maximální počet kusů, který je možno obalovat bez doplnění písku, vzhledem k tomu, že během obalování klesá hladina ve fluidním lůžku. V běžném provozu se doplnování děje častěji. Velikost tlaku je omezena od 0,6 do 1 kp/cm². Při tlaku nižším než 0,6 kp/cm² klade již fluidní lůžko takový odpor, že dochází k ulamování modelů ze stromečků a při vyšším tlaku, než 1 kp/cm² dochází k tak silnému víření ve fluidním lůžku, že písek přepadá přes okraje a znečišťuje nádrž s obalovou směsí.

Jak je z tabulky 2 - 2 patrno, mají tyto různé tlaky na rozložení zrnitosti pouze malý vliv. Dochází zde u všech tří tlaků k vytvoření bublající vrstvy s intensivním vířením a promícháváním zásypového písku, což je vidět při porovnání rozložení zrnitosti v různých hloubkách pod povrchem fluidní vrstvy.

č.vz.	tlak /kp/cm ² /	hloubka mm	zrnitost /mm/ / podíly /%						
			1,0	0,8	0,63	0,5	0,25	0,1	0,1
A1	0,6	50	1,9	13,3	51,6	26,7	6,2	0,2	0,1
A2	0,6	150	2,1	14,1	50,6	26,4	5,5	0,2	0,1
A3	0,6	300	2,2	14,4	51,8	25,8	5,2	0,1	0,0
B1	0,6	50	2,7	13,8	52,9	25,1	5,7	0,1	0,0
B2	0,6	150	3,2	14,8	51,8	25,2	5,1	0,1	0,0
B3	0,6	300	6,1	13,5	51,5	24,0	5,3	0,0	0,0
A4	0,8	50	2,1	13,6	47,7	28,8	7,1	0,3	0,1
A5	0,8	150	2,1	14,1	52,2	26,3	5,4	0,2	0,1
A6	0,8	300	2,4	14,2	51,5	26,7	5,5	0,2	0,0
B4	0,8	50	2,3	14,2	50,8	27,2	6,9	0,1	0,0
B5	0,8	150	3,8	14,6	52,8	23,8	5,1	0,1	0,0
B6	0,8	300	5,6	14,8	50,6	24,9	5,1	0,1	0,0
A7	1,0	50	1,8	12,8	51,1	26,2	7,4	0,2	0,1
A8	1,0	150	1,9	12,0	51,5	26,6	7,5	0,3	0,1
A9	1,0	300	2,0	13,6	51,0	27,5	5,7	0,2	0,1
B7	1,0	50	3,5	14,3	51,6	24,0	6,1	0,1	0,0
B8	1,0	150	6,3	14,8	51,5	23,8	3,8	0,1	0,0
B9	1,0	30	6,8	14,6	49,2	25,4	3,5	0,1	0,0
C	-	-	0,1	8,0	38,8	32,6	15,5	5,0	0,6

Doba sušení t_1 ? hod./100° C
doba vysývání t_2 15 min.

tab. 2 - 2

Také při visuelním pozorování hladiny je vidět, že dochází k vymršťování shluků písku nad povrch vrstvy, což odpovídá bublající vrstvě. Ze vzorků v různých hloubkách je patrný jistý sklon k třídící vrstvě. Tento sklon se nejvíce projeví v úrovni hladiny a u daná zařízení.

Při porovnávání zrnitosti na začátku obalování a po sto kusech stromečků, kdy je časový rozdíl asi jednu hodinu, je patrné, že intensita obalování zrníček písku světší velikostí klesá. Nejintensivněji se podílejí na obalování zrníčka velikostí mezi 0,25 - 0,63 mm a nejméně 0,63 - 1 mm. Po této době obalování, t.j. po 100 kusech stromečků, jeví také rozložení písku větší sklon k třídící vrstvě. Při tlaku 0,8 kp/cm² se na př. procentový obsah písku o zrnitosti větší než 1 mm v hloubce 300 mm pod povrchem zvětšil oproti hloubce 50 mm o 3,3 %, pro zrnitost 0,63 - 0,5 mm se zmenšil o 2,3 %, a pro zrnitost 0,5 - 0,25 mm se zmenšil o 1,8 %.

Úplně na povrchu vrstvy se po obnovení písku vytvoří slabý povlak jemného písku o zrnitosti 0,1 mm a menší, který se v prvních minutách obalování jednak odpráší a jednak obalí na první zasypáváné stromečky.

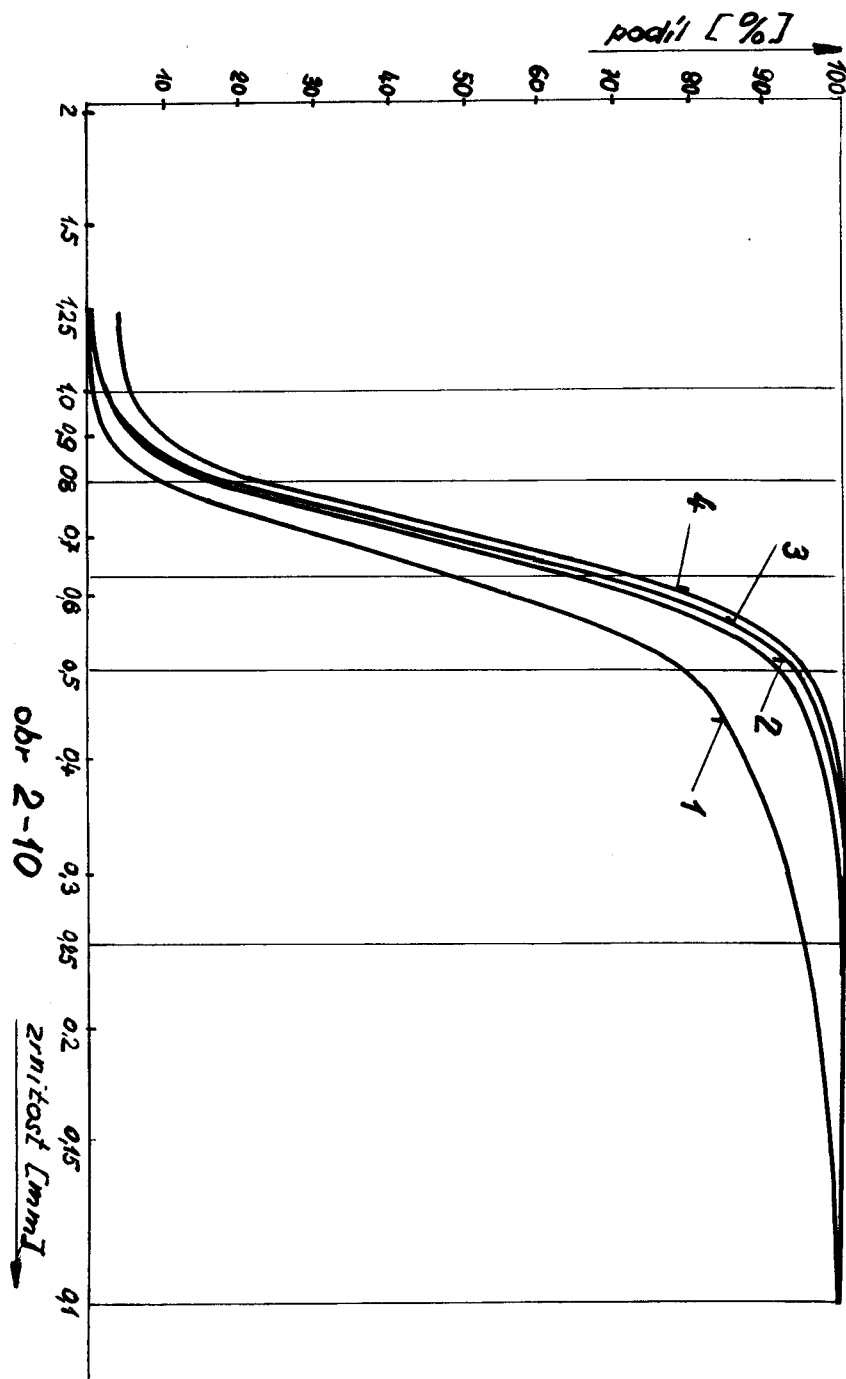
Po skončení směny je možné pozorovat na dně fluidního lože prakticky souvislou vrstvu hrudek o velikosti str. Ø 2 - 10 mm i větších, které vznikají stékáním obalové směsi ze stromečků a různých úlomků modelů. Hrudky menších rozměrů se také objevovaly již ve vzorcích odebíraných ve hloubce 300 mm.

Pro názornost a přehlednost změn zrnitosti byly pro některé charakteristické změny sestaveny křivky a vneseny do součtového diagramu na obr.

2 - 10.

Křivka 1 charakterisuje složení C, t.j. složení ~~b~~novovacího a doplňovacího písku ze zásobníku.

Křivka 2 charakterisuje složení A4, t.j. složení zásypového písku před začátkem obalování při tlaku 0,8 kp/cm² a v hloubce 50 mm.



- 1 ... složení obnovovacího písku
- 2 ... složení zásypového písku před začátkem obalování při tlaku $0,8 \text{ kp/cm}^2$ a hloubce 50 mm
- 3 ... složení po 100 kusech obalených stromečků při tlaku $0,8 \text{ kp/cm}^2$ a hloubce 50 mm
- 4 ... složení po 100 kusech obalených stromečků při tlaku $0,8 \text{ kp/cm}^2$ a hloubce 300 mm

Křivka 3 charakterisuje složení po 100 kusech obalených stromečků při tlaku 0,8 kp/cm² a hloubce 50 mm.

Křivka 4 charakterisuje složení po 100 kusech obalených stromečků při tlaku 0,8 kp/cm² a hloubce 300 mm pod povrchem fluidní vratvy.

Rozložení zrnitosti jemnějšího písku je ruční obalování prvních obalů ve fluidním loži ukazuje tabulka 2 - 3.

č.vz.	hloubka /mm/	zrnitost /mm/ / podíly /%							
		0,8	0,63	0,5	0,315	0,25	0,16	0,1	>0,1
E1	50	0,2	2,9	13,3	55,1	13,1	14,6	0,4	0,1
E2	100	0,2	2,8	13,4	55,7	13,8	14,2	0,4	0,1
E3	200	0,2	2,9	12,8	57,5	12,8	13,1	0,4	0,0
E4	300	0,1	2,9	12,6	55,0	13,7	15,3	0,3	0,0
F1	50	0,2	3,2	13,1	60,8	12,8	11,3	0,2	0,0
F2	100	0,2	3,5	12,4	59,8	13,3	10,7	0,1	0,0
F3	200	0,1	3,6	12,6	60,6	12,7	11,2	0,0	0,0
F4	300	0,2	3,5	11,4	61,7	12,8	11,1	0,0	0,0
G1	50	0,2	3,5	17,2	66,2	9,4	2,8	0,0	0,0
G2	100	0,2	5,4	17,5	64,8	9,2	2,7	0,0	0,0
G3	200	0,3	5,0	17,6	64,3	9,1	2,8	0,0	0,0
G4	300	1,3	5,3	18,6	64,8	7,6	2,0	0,0	0,0

Doba sušení $t_1 = 2$ hod. / 100° C

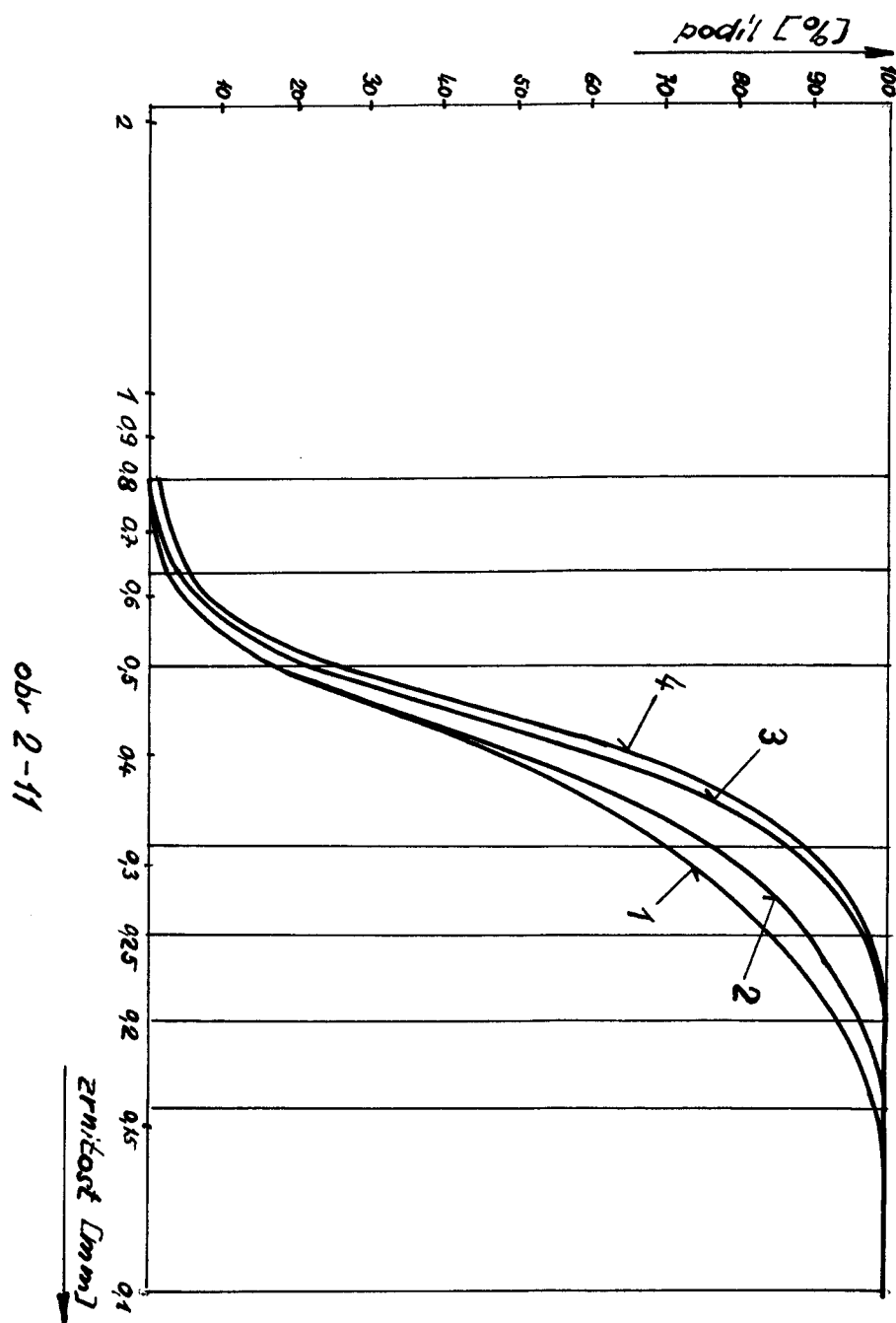
Doba vysílání $t_2 = 15$ min.

Tab. 2 - 3

V tomto fluidním loži bylo možno sledovat změnu zrnitosti po větším počtu obalených forem, bez obnovy písku. Vzorky E značí rozložení zrnitosti v obnoveném písku, vzorky F značí rozložení zrnitosti po 200 kusech a vzorky G po 500 ks obalených stromečků prvními obaly.

30. října 1967

List 60 List 39



- 1 ... složení zásypového písku před začátkem obalování v hloubce 50 mm
- 2 ... složení zásypového písku po 200 ks stromečků v hloubce 50 mm
- 3 ... složení zásypového písku po 500 kusech stromečků ve hloubce 50 mm
- 4 ... složení zásypového písku po 500 kusech stromečků v hloubce 300 mm.

Tlak byl nastavován visuelně a dle porovnání s fluidním lůžkem automatické obalovací linky se pohyboval mezi $0,7 - 0,9 \text{ kp/cm}^2$. Při posuzování rozložení a změn zrnitosti v závislosti na hloubce a na počtu obalených forem, je možné dojít prakticky ke stejným zvěrům, jako při posuzování zrnitosti hrubšího písku, dle tab. 2 - II. Také zde dochází k intensivnímu promíchávání obalového písku a vytvoření bublající vrstvy a je zde také možno zachytit jistou tendenci k vrstvě třídící. Rovněž při pozorování změn zrnitosti v závislosti na počtu obalených forem je patrné, že intensivněji se obalují zrníčka menší velikosti. Charakteristické změny byly opět vneseny do součtového diagramu na obr. 2 - II.

Křivka 1 znázorňuje složení E_1 , t.j. rozložení zrnitosti na začátku obalování v hloubce 50 mm.

Křivka 2 znázorňuje složení F_1 , t.j. rozložení zrnitosti po 200 obalených kusech stromečků v hloubce 50 mm.

Křivka 3 znázorňuje složení G_1 , t.j. rozložení zrnitosti po 500 kusech obalených stromečků ve hloubce 50 mm.

Křivka 4 znázorňuje složení G_4 , t.j. rozložení zrnitosti po 500 kusech obalených stromečků ve hloubce 300 mm.

**2.42 VЛИV ZMĚNY VISKOSITY OBALOVÉ SMĚSI A POČTU
OBALENÝCH FOREM NA PEVNOST A PRODÝŠNOST
KERAMICKÝCH SKOŘEPINOVÝCH FOREM**

Sledování vlivu změny viskositety a počtu obalených forem na změnu zrnitosti zásypového písku, vzhledem k tomu, že měření a studium fluidního lžíčka bylo prováděno za plného provozu, nebylo možné provést v plném rozsahu. Pro tato měření bylo totiž nutno měnit viskositu obalové směsi v nádrži, umístěné v obalovací lince a nechat projít jak nádrži, tak fluidním lžíčkem značně vysoký počet stromečků, vč. zkušebních vzorků, na začátku obalování a po určitém počtu kusů. Tím by byl srozumějící narušen technologický postup pro obalování ve slévárně, čímž by se mohlo podstatně zvýšit riziko zmetkovitosti.

Jediným řešením tedy bylo namíchat různé viskosity obalové směsi ve zvláštních nádržích a tyto použít pro namáčení zkušebních vzorků.

Korýtkové modely pro zkušební vzorky byly po 4 kusech připevněny na modelech vtokové soustavy a po namočení v obalové směsi o dané viskositě zavřen yna pás, se kterým prošly fluidním lžíčkem.

Vzorky byly obalena jednak na začátku obalování po obnově písku a jednak, stejně jako při odobírání vzorků písku, po 100 kusech obalených stromečků. Pro první zásyp bylo vždy použito jemnějšího písku.

Polovina vzorků byla během obalování stírána a druhá polovina po vytavení a usušení rozbrušena. Protože při měření pevnosti tyto dva druhy nevykazovaly podstatné rozdíly, byly pevnosti zkušebních tyčinek, vzniklých jak stíráním, tak i rozbrušením, zahrnuty do průměrných pevností.

Prodyšnost byla měřena na vzorcích stíraných.

V tabulce 2 - 4 jsou zachyceny střední hodnoty pevnosti a prodyšnosti zkušebních tyčinek pro různé viskosity. Tloušťky zkušebních tyčinek pro výpočet pevnosti byly měřeny vždy v 7. místech v místě lomu a z nich byl brán střední průměr.

č.vz.	viskosita F.p."/ sec/	stř.tloušť- ka hs/mm/	pevnost /kp/cm ² /	prodyšnost Ps /njp/
A1	15	4,44	38,7	0,394
A2	20	4,64	44,9	0,305
A3	25	4,86	37,8	0,345
A4	30	4,62	47,2	0,287
A5	35	5,42	42,53	0,336
A6	-	4,49	41,1	0,388
B1	15	4,32	35,7	0,397
B2	20	4,27	42,2	0,391
B3	25	4,74	34,3	0,403
B4	30	4,56	42,8	0,326
B5	35	5,21	38,35	0,338
B6	-	4,62	39,9	0,432
C1	15	5,44	31,04	0,437
C2	20	4,82	39,26	0,462
C3	25	5,51	35,95	0,383
C4	30	4,63	33,54	0,405
C5	35	5,79	39,55	0,389
C6	-	5,24	35,66	0,461

teplota T = 21° C ; doba sušení t = 3 - 4 hod.

lo = 100 mm

Vzorky pro pevnost ve stavu nežíhaném

Vzorky pro prodyšnost vyžíhané 950° C/2 hod.

tab. 2 - 4

Hodnoty v tabulce jsou průměrem hodnot vždy osmi zkušebních vzorků.

Označení A znamená vzorky obalené na začátku směny v obnoveném písku.

Označení B znamená vzorky obalené po 100 ks stromečků.

Označení C znamená vzorky obalené improvizovaným gravičním způsobem, pískem z fluidního lůžka.

Vzorky č. 6 jsou vzorky obalené dle technologického postupu n.p. PRESTRO, to znamená první obal při viskositě obalové směsi 21 sec.

Fp Ø 6 a 2 - 4 obal při viskositě 14 - 16 sec.

F.p. Ø 6.

Pro měření pevnosti byly použity vzorky v syrovém nevyžíhaném stavu a pro měření prodyšnosti byly vyžíhány v oxydační atmosféře v peci při teplotě 950° C. Po dobu dvou hodin a nechány vychladnout v peci.

Hodnoty z tabulky 2 - 4 byly vyneseny do grafu. Graf na obr. 2 - 12 ukazuje změnu pevnosti závislosti na změně viskosity obalové směsi a změnu pevnosti vzorků obalených na začátku obalování /1/ po 100 kusech obalených stromečků /2/ a obalených gravitačně /3/.

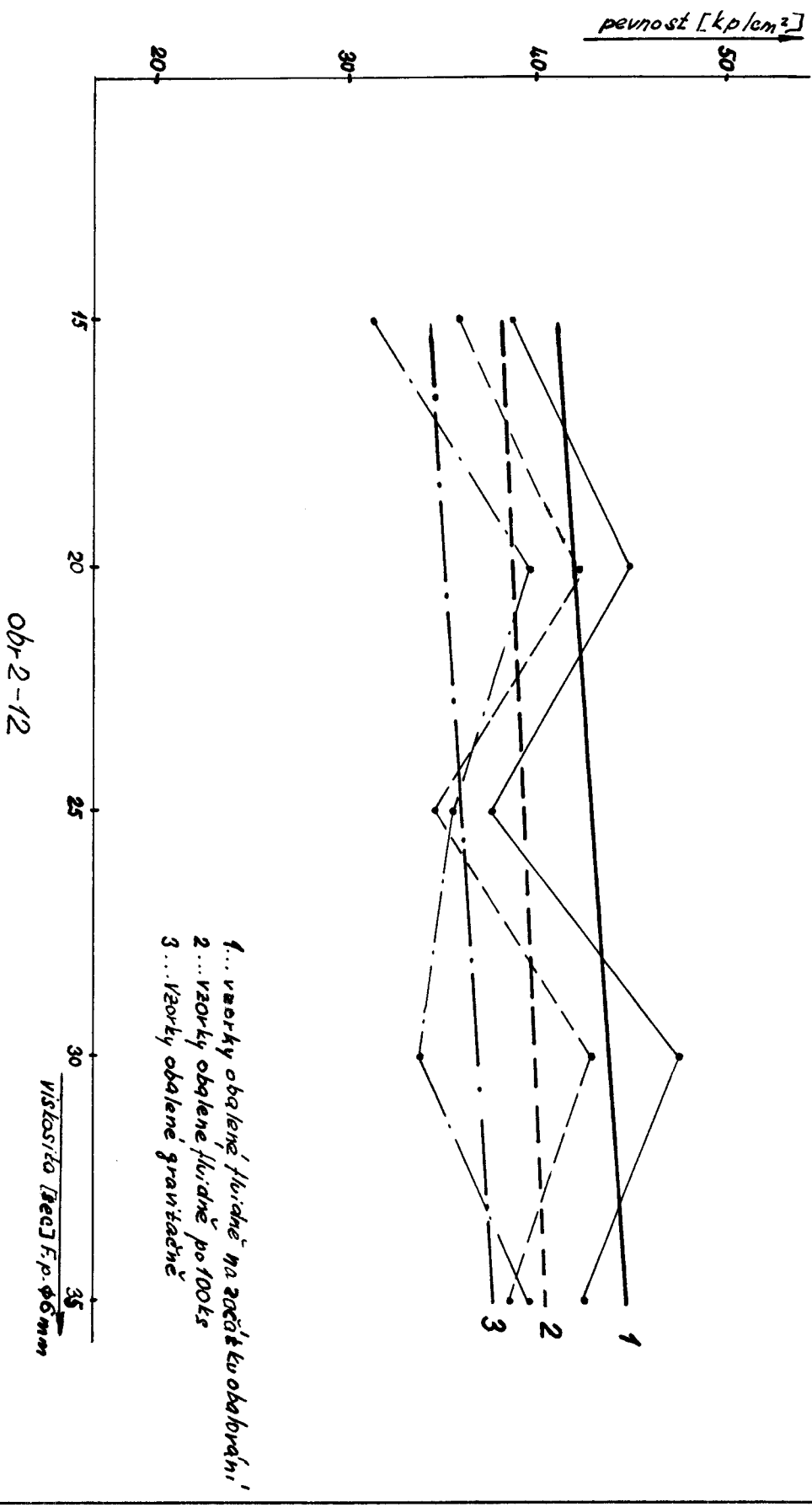
Graf na obr. 2 - 13 ukazuje změnu prodyšnosti vzorku.

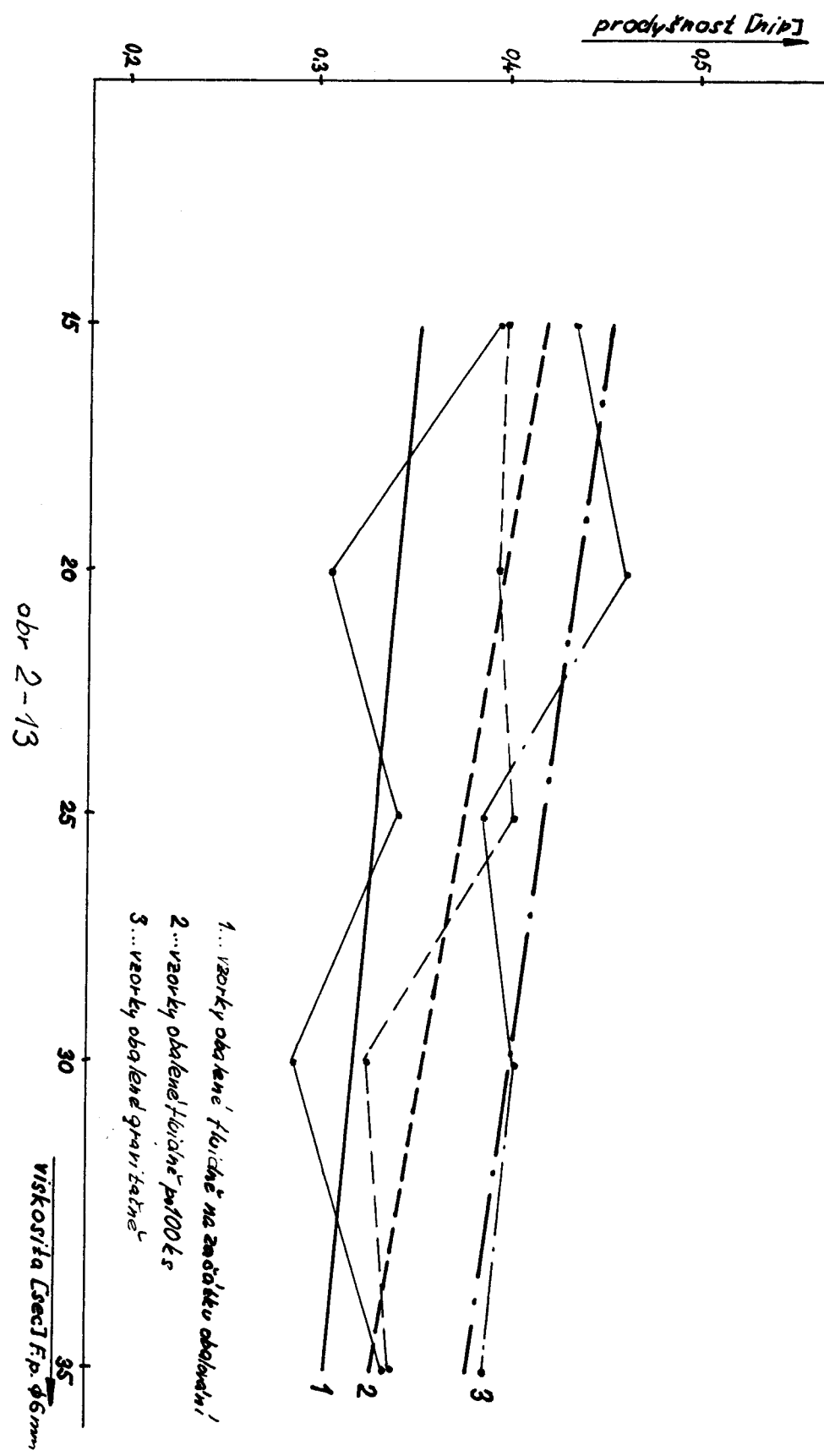
Při pozorování závislostí na obou grafech /obr. 2 - 12 a obr. 2 - 13/ se jeví značný rozptyl naměřených hodnot. Tento rozptyl je možné zdůvodnit tím, že naměřené hodnoty mají nutně statistický charakter, dále potom tím, že vzorky nemohly být současně vyrobeny, za přísně stejných okolních podmínek a s ohledem na celkový časový fond prováděných zkoušek s konstatní dobou sušení a také nepřesnostmi měřících přístrojů.

Pro zjištění výsledek tendencí funkčních vztahů bylo provedeno grafické přímkové vyrovnání.

30. října 1967

Listů 60 List 44





Při sledování průběhu pevnosti závislosti na viskositě obalové směsi, je vidět, že pevnost vzorků se vzrůstající viskositou stoupá. Také ovšem je z obr. 2 - 12 zřejmý vliv různých okolních podmínek při obalování /teplota, vlhkost, viskositá obalové směsi, správná vazná kapalina, druh moučky obalové směsi, druh obnovovacího písku v loži, doba sušení mezi obaly, doba sušení mezi posledním obalem a vytavováním a doba vytavování/.

Vzorky při viskositě 15 sec. F.p. Ø 6 /současně vzorky při viskositě dle technologického postupu slévárny/, vzorky při viskositě 20 a 30 sec. F.p. Ø 6 a vzorky při viskositě 25 a 35 sec. F.p. Ø 6 byly obalovány v různé dny.

Z uvedených okolních podmínek při obalování se jeví jako nejvíce proměnná doba sušení. Ostatní podmínky, t.j. teplota, vlhkost, viskositá obalové směsi, správná vazná kapalina, druh moučky v obalové směsi, obnovovací písek a doba vytavování, lze i při měření provedených v různých dnech považovat za konstantní. Pro ověření konkrétních závislostí mezi pevností, prodyšností a dobou sušení by bylo ovšem nutné provést speciální zkoušky, přesto se dá předpokládat, že se zvyšující se dobou sušení vzrůstá pevnost skořepin v nevyžíhaném stavu.

Změna pevnosti závislosti na počtu obalených forem se zde výrazně projevila a ukazuje se, že rozdíl v pevnosti v závislosti na počtu obalených forem s vyšší viskositou obalové směsi poněkud stoupá. Pro viskositu 15 sec. F.p. Ø 6 činí průměrný rozdíl podle grafického výrovnání mezi pevnostmi 7,7 %, při viskositě 25 sec. F.p. Ø 6 již 9,3 % a při viskositě 35 sec. F.p. Ø 6 je 9,5 %.

Přesto, že pevnost v závislosti na počtu obalených forem při fluidním způsobu zasýpání klesá, je možno říci, že v průměru je vyšší, než pevnost vzorků zasýpaných gravitačně.

Při sledování závislosti pevnosti na viskositě je však také nutno uvažovat vliv závalů, které se dle visuelního pozorování při vyšší viskositě obalové směsi někdy objevují. Tyto závaly pak mohou při nedokonalém prosušení vést k narušení skořepiny, ke vzniku zadrobenin při vytavování vosku a ke vzniku výronků a zadrobenin na odlítacích.

U prodyšnosti jsou sledované závislosti právě opačné /obr. 2 - 13/. V průměru prodyšnost s rostoucí viskositou obalové směsi klesá a v závislosti na počtu obalených forem stoupá, přičemž větší rozdíl je mezi prodyšnostmi na začátku obalování ^Q po 100 kusech obalených stromečků. je u nižších hodnot viskosity. Při gravitačním způsobu zasypávání byla v průměru naměřena prodyšnost nejvyšší. /

Po srovnání obou grafů je možné tato měření shrnout asi takto. Z hlediska pevnosti za syrova je výhodnější fluidní způsob než gravitační. Pro fluidní způsob zasypávání je výhodnější používání spíše jemnějšího písku a vyšší viskosity obalové směsi. Z hlediska prodyšnosti je pak výhodnější, aby tomu bylo obráceně.

2.43 Vliv změny tlaku vzduchu, hloubky ponoréní,
polohy vzorků a jeho pohybu na pevnost a
prodyšnost při konstantní viskositě obalové
směsi.

Současně s odebíráním vzorků písku z fluidního lože a sledování zrnitosti, byly také k získání uceleného obrazu o vlivu změny tlaku vzduchu, hloubky ponoréní a polohy vzorku na vlastnosti keramických skořepin, obalený zkoušební vzorky pro zkoušku pevnosti a prodyšnosti.

Tabulka 2 - 5 ukazuje změnu pevnosti a prodyšnosti v závislosti na změně tlaku vzduchu.

č.vz.	tlak p /kp/cm ² /	toušťka h _s /mm/	pevnost /kp/cm ² /	prodyšnost Ps /njp/
T 1	0,6	5,26	33,8	0,426
T 2	0,8	5,00	38,5	0,515
T 3	1,0	4,66	33,1	0,455

Teplota T = 20° C; doba sušení t = 3 - 4 hod.
lo = 100 mm.

tab. 2 - 5

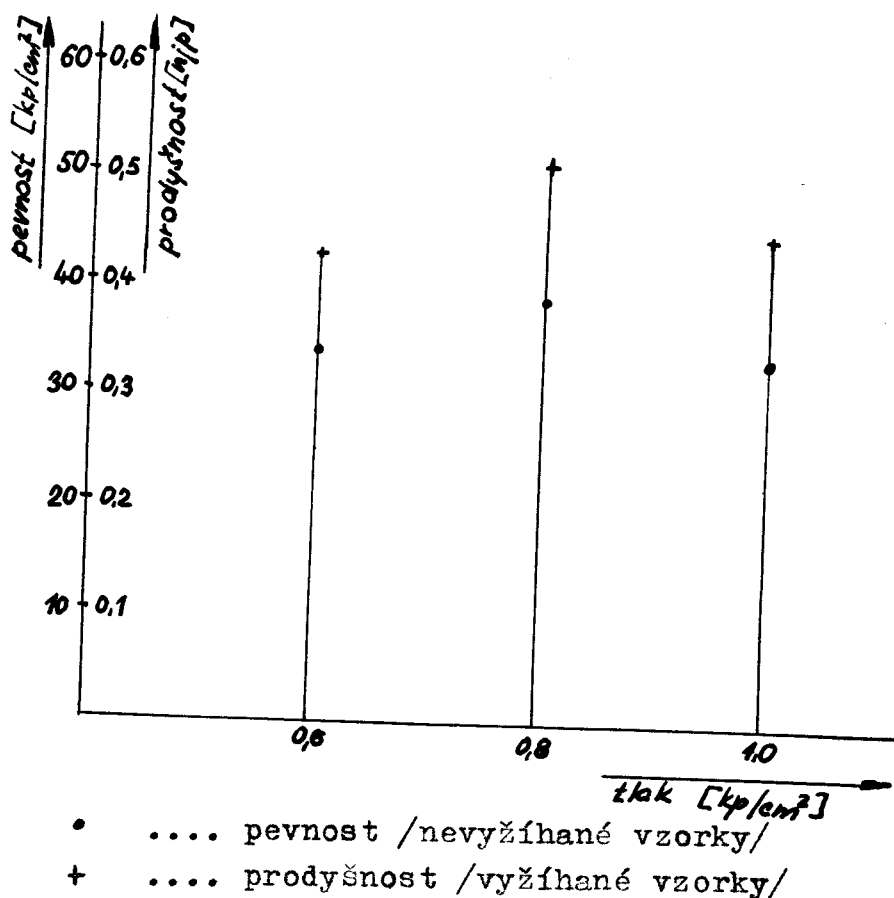
Vzorky byly obalovány na automatické obalovací lince, což značí že konaly rotující pohyb a pohybovaly se v houbce 50 - 100 mm pod povrchem fluidní vstavy. Viskosita obalové směsi pro první obaly byla 21 sec. F.p. Ø 6 a pro 2 - 4 obaly 15 sec. F.p. Ø 6 (11,1 dílků viskosimetru).

Změny pevnosti a prodyšnosti jsou znázorněny v grafu na obr. 2 - 14.

Z těchto měření vyplývá, že jak prodyšnost, tak i pevnost jsou nejvhodnější při tlaku okolo 0,8 kp / cm².

Tabulka 2 - 6 udává hodnoty pevnosti a prodyšnosti v závislosti na hloubce obalování a na poloze vzorku.

Každá z těchto hodnot je průměrnou hodnotou pevnosti a prodyšnosti čtyř zkušebních tyčinek.



obr. 2 - 14

č.vz.	hloubka /mm/	tloušťka /hs /mm/	Pevnost /kp/cm ² /	prodyšnost Ps /njp/
HV1	50	5,72	42,12	0,521
HV2	150	5,48	38,5	0,644
HV3	300	5,55	37,5	0,575
HS1	50	5,87	38,1	0,557
HS2	150	5,59	37,8	0,605
HS3	300	5,43	35,71	0,613

teplota T = 20° C; doba susení t = 3 - 4 hod.
lo = 100 mm.

tabulka 2 - 6

Označení HV je pro vzorky, u kterých při obalování byla podélná osa rovnoběžná s povrchem fluidní vrstvy.

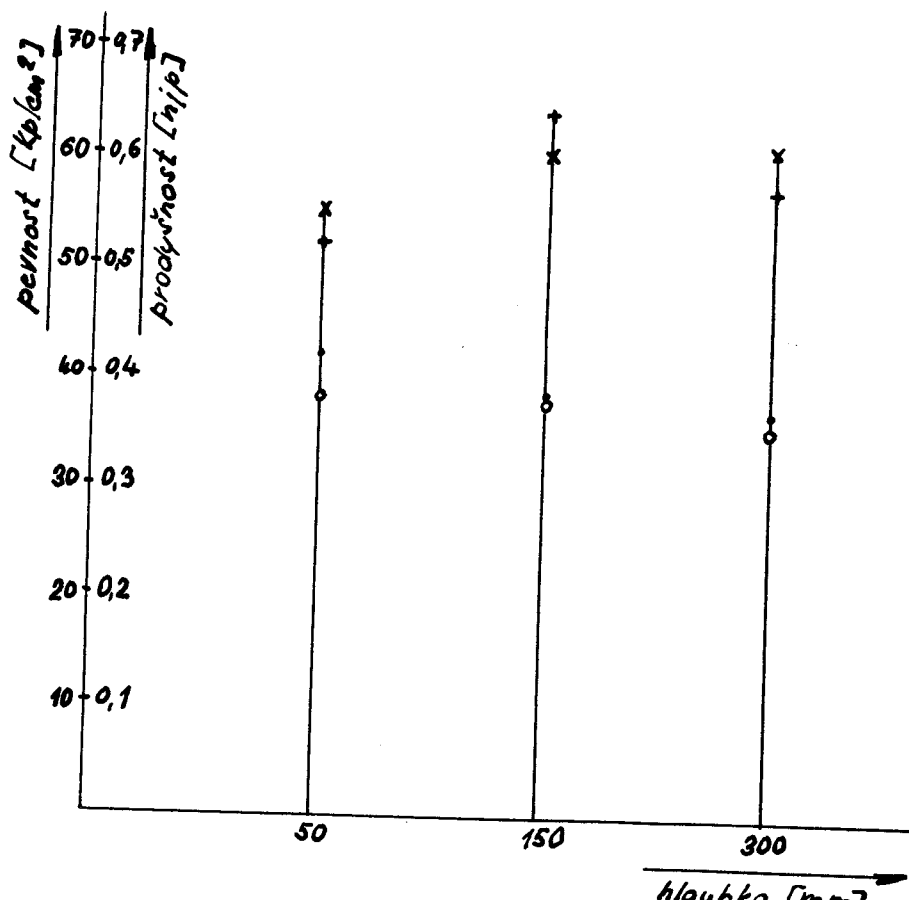
Označení HS je pro vzorky, jejichž podélná osa byla při obalování kolmá k povrchu fluidní vrstvy.

Naměřené hodnoty znázorňuje graf na obr.

2 - 15. Obalování bylo prováděno při tlaku v zduchu 0,8 kp/cm² ručně.

Hodnoty pevnosti se stoupající hloubkou obalování mírně klesají a prodyšnost v průměru stoupá. Na tuto změnu může mít vliv, jednak poněkud se měnící rozložení zrnitosti zásypového písku, vlivem třídící vstvy ve fluidním loži / i když je nutno brát v úvahu, že vzorky, obalované v hloubce vyšší než 50 mm, prošly při poněrování i horními vstavami fluidního lože / a také tlak. Tentýž je totiž na př. ve hloubce 300 mm zvětšený o frikční tlakovou ztrátu pro výšku 300 mm zásypového písku.

Tyto hodnoty je nutné brát jako hodnoty informativní, jelikož se jedná o menší počet zkoušek a tím tedy i o menší statistickou závažnost.



- pevnost /vodorovně; nevyříhané/
- pevnost /svisle; nevyříhané/.
- * prodyšnost /vodorovně; vyříhané/
- + prodyšnost /svisle; vyříhané/

obr. 2 - 15

2.44 SLEDOVÁNÍ ABRASIVNÍCH ÚČINKŮ FLUIDNÍHO LOŽE

Při visuelním sledování abrasivních účinků fluidního lože se dá říci, že k abrasi dochází, s ohledem na skutečnost, že tlaky prakticky mohou kolísat jen v poměrně malém rozmezí $/0,6 - 1 \text{ kp/cm}^2/$, jenom ve velmi malé míře. Abrasi je možné pozorovat pouze u vzorků obalovaných ve hloubce 300 mm. Je to možné vysvětlit vířením hrudek, které se již v této výšce objevily ve vzorčích písku pro síťové rozboru.

Při porovnávání s improvisovaným gravitačním způsobem zasypávání, dochází při gravitačním zasypávání z výšky 500 mm již k viditelné abrasi na ostrých hranách zkusebního modelu, zatím co u fluidního z působu nebyl tento úkaz zjištěn.

Pro možnost vyčíslení hodnot abrase ve fluidním lůžku byl učiněn pokus s modely se dvěma obaly, které byly vystaveny po určitou dobu účinkům fluidního lože.

Naměřené hodnoty jsou sestaveny v tabulce 2 - 7.

č.vz.	tlak $\text{kp/cm}^2/$	doba zasýpání $\text{sec.}/$	váha před zkouškou $\text{g}/$	váha po zkoušce $\text{g}/$	rozdíl vah $\text{\%}/$
M1	0,6	18,0	111,4	153,6	37,2
M2	0,6	180	110,0	148,0	34,5
M3	0,6	360	117,2	152,7	30,05
N1	1,0	18	97,0	135,4	39,5
N2	1,0	180	114,0	143,9	28,5
N3	1,0	360	108,9	137,6	27,4
O1	0,6	360	101,6	99,8	- 1,02
O2	1,0	360	109,9	107,2	- 1,025

tab. 2 - 7

Vzorky M a N se dvěma zaschlými obaly byly ponořeny do obalové směsi a po té zavěšeny do hloubky 100 mm ve fluidním lůžku, kde byly ponechány jednak dobu 18 sec., což je doba za kterou projde stromeček zavěšený v závěsu linky fluidním ložem, dobu 10x delší, t.j. 180 sec. a dobu 20x delší, t.j. 360 sec. Z tabulky je vidět, že při době obalování 18 sec. se zvýšila váha o 37,2 %, kdežto při 360 sec. se zvýšila pouze o 30,05 %, pro tlak $0,6 \text{ kp/cm}^2$. Pro tlak $1,0 \text{ kp/cm}^2$ je rozdíl ještě o něco větší.

Vzorky označené O byly zavěšeny po uschnutí druhého obalu do fluidního lože nenamočené. Po době 360 sec. klesla jejich váha o 1,025 % pro tlak $1,0 \text{ kp/cm}^2$ a 1,02 % pro tlak $0,6 \text{ kp/cm}^2$.

Vzhledem k tomu, že doba 360 sec je doba 20x delší nežli normální doba průchodu stromečku /18 sec./, je možné abrasivní úzkinky zanedbat.

2.50 ZHODNOCENÍ VÝSLEDKŮ VÝZKUMU Z HLEDISKA
VYUŽITÍ PRO ZLEPŠENÍ TECHNOLOGIE VÝROBY
SKOŘEPINOVÝCH FOREM.
=====

Z provedených měření vyplývá, že pro splnění optimální hodnoty pevnosti i prodyšnosti současně při fluidním způsobu obalování, je nutno použít pro dané podmínky optimální viskositu obalové směsi a vytříděného písku těch zrnitostí, které se nejvíce podílejí na vytváření skořepiny a z nich, v co největší míře, frakcí nejhrubších.

Měření dále pak prokázala, že většina používaných parametrů ve slévárně n.p. PRESTRO v Uherském Brodě se blíží optimálním podmínkám /z uvedeného rozsahu měření/ pro vlastnosti keramických skořepinových forem. Jedná se o výši průměrného nastavení tlaku vzduchu ve fluidním lůži, hloubku ponoření a rotaci stromečku při průchodu fluidním ložem.

Jednou z podmínek dodržení optimální pevnosti a prodyšnosti je tedy dodržování nastavené optimální viskosity obalové směsi. Oproti dřívějšímu měření pomocí Fordových pohárků zaručuje měření pomocí rotačního viskosimetru se signalizací dodržení viskosity obalové směsi v pracovním rozsahu tím, že umožňuje její bezprostřední regulaci podle platných předpisů a navíc odpadají časové ztráty a osobní chyba při měření.

Porovnáním výsledků měření pevnosti a prodyšnosti v závislosti na viskositě je vidět, že kombinace obou druhů viskosit /t.j. 21 sec. Fp Ø 6 pro první obaly a 14 - 16 sec. Fp Ø 6 pro další obaly/ používaná v n.p. PRESTRO se jeví jako výhodná a tudíž nastavení rozsahu signalisace viskosimetru dle technologického postupu slévárny, uvedené na obrázku 1 - 4, se pro dané podmínky ukazuje nejsprávnější.

Další z podmínek dodržení optimální pevnosti a prodyšnosti, je použitý rozsah zrnitosti zásypového písku. V tomto případě se ukazuje možné zlepšení z hlediska technologie výroby skořepinových forem, používání užšího rozsahu zrnitosti zásypového písku ve fluidním loži automatické obalovací linky a to v rozsahu 0,15 - 0,63 mm, což potvrdilo jednak sledování změny zrnitosti v závislosti na počtu obalených forem a jednak zkoušky pevnosti.

Při celkovém porovnávání způsobu zasýpání, t.j. fluidního a gravitačního zasypávání při stejné viskositě a stejném zásypovém písku se z hlediska pevnosti a velikosti abrase ukazuje výhodnější fluidní způsob a z hlediska prodyšnosti pak způsob gravitační.

2.51 ZHODNOCENÍ VÝSLEDKU VÝZKUMU Z HLEDISKA EKONOMICKÉHO
=====

Při navrhovaném zlepšení technologie výroby používáním zrnitosti zásypového písku pro strojní fluidní loží v užím rozsahu, by zvýšení výrobních nákladů, použitím tříděného písku bylo prakticky zanedbatelné. Jak bylo uvedeno v popisu měření, písek T2N používaný pro strojní fluidní loží prochází jednak sušičkou a jednak se třídí pomocí rotujícího síta. Stačiloby tedy pouze změnit velikost otvorů síta.

Při celkovém zhodnocení měření z hlediska ekonomického je nutné porovnat celkové výrobní náklady při fluidním způsobu obalování a při způsobu gravitačním.

Dle získaných informací o pořizovacích a provozních nákladech obou zařízení je možné provést takovéto hodnocení:

1/ pořizovací náklady

- a/ gravitační zařízení 35000-40000 Kčs
- b/ fluidní zařízení 8000-10000 Kčs

2/ provozní náklady

/průměrný provoz 20 dní/měs./

- a/ gravitační způsob

1/ spotřeba energie 1440 Kčs/rok
/el.motor 3 kW
provoz 10 hod./den
cena 0,20 Kčs/kWh/

2/ náklady na údržbu 4800 Kčs/rok
/400 Kčs/měsíc/

c e l k e m 6240 Kčs/rok

b/ fluidní způsob

1/ spotřeba energie 14250 Kčs/rok
/stl.vzduch - 1000 m³/den
cena 59,50 Kčs/1000 m³/

2/ náklady na údržbu 1200 Kčs/rok
/100 Kčs/měs./

c e l k e m 15450 Kčs/rok

Porovnáním výsledků je vidět, že pořizovací náklady jsou u fluidního způsobu podstatně nižší, ovšem celkové provozní náklady, vzhledem k vysoké ceně stlačeného vzduchu, mnohem vyšší, než pro gravitační zařízení.

Dle informací vedoucího slévárny se však dá ze zkušeností předpokládat při použití fluidního způsobu obalování úspora zhruba 1 % na zmetcích, oproti způsobu gravitačnímu, což by činilo, při daném objemu výroby, /t.j. při výrobě 150 t/rok a průměrné ceně výrobku 40,- Kčs/kg/, úsporu zhruba 60.000 Kčs/rok, čímž se tedy jeví fluidní způsob celkově z ekonomického hlediska

VŠST LIBEREC
FAKULTA STROJNÍ

Ověření rotačního viskosimetru
na kontinuální měření visko-
sity obalové směsi a studium
fluidního zasypávání keramic-
kých skořepinových forem.

DP-ST 575/67

30. října 1967

Listů 60 List 57

výhodnější než gravitační.

Kromě toho se také odstraní znečištování
ovzduší prachem, což je také výhodnější z hlediska
bezpečnosti práce.

2.60 ZÁVĚR

Úkolem mé práce bylo jednak ověření rotačního viskosimetru na kontinuální měření viskosity obalové směsi v provozních podmínkách. Tento úkol se mi doufám, podařilo v daném rozsahu splnit.

Celkově seddá říci, že rotačním viskosimetrem se dá celkem spolehlivě kontinuálně měřit obalovou směs a při použití signalisace, je i možná bezprostřední regulace viskosity obalové směsi, dle daných předpisů, což vylučuje závady skořepinových forem, vzniklé nesprávnou viskositou obalové směsi.

Dalším úkolem bylo studium fluidního zasypávání keramických skořepinových forem. Z provedeného zhodnocení se celkově jeví fluidní způsob jako výhodný, jak z hlediska technologického, tak i ekonomického.

Z hlediska pokračování výzkumu ve sledovaném směru, se ukazuje jako poměrně nejdůležitější, možnost provádět měření v laboratorních podmínkách, kde by bylo pro zasýpání modelů instalováno jak

fluidní, tak i gravitační zařízení a kde by nebylo nutné podřizovat se výrobnímu postupu a technologickým podmínkám běžné výroby slévárny, jak z hlediska používaných parametrů, tak i z hlediska časového.

Závěrem své práce bych chtěl poděkovat Ing Straňákovi z n.p. PRESTRO v Uherském Brodě za velmi důležité informace, potřebné pro mojí práci. Zejména pak bych chtěl poděkovat vedoucímu diplomní práce prof. Ing Bohumilu Odstrčilovi a konsultantu Ing Jiřímu Spalovi, za velmi cenné rady v průběhu této diplomní práce.

Jáček Kovář

3.00 SEZNAM POUŽITÉ LITERATURY

- 1/ Guljajev: Litějnyje processy,
- 2/ Kurčman: Točnoje liťjo
- 3/ Šklenník: Litjo po vyplavljaljajemym moděljam
- 4/ Doškář: Přesné lití do keramických forem
- 5/ Beránek-Sokol: Fluidní technika
- 6/ Časopis Modern Castings 1960
F.C. Quigley, E.DeLuca: The Fluidized Bed for Investment Castings.
- 7/ Časopis Foundry Trade Journal 1961 Particle Coating in Investément Moulds...Solid Fluidization
- 8/ Časopis Machine moderne 1961,
General Thomas J.Rodman, Francis Guigley a Eugene DeLuca:
Revetement des particules dans la fabrication de moules type cire perdue par fluidification solide
- 9/ návrh KSL VŠST Liberec:
zkouška pevnosti keramických skořepin ohybem
- 10/ Sourek: Měření prodyšnosti keramických skořepin - DP - 1965
- 11/ Grund: Návrh kontinuálního měření viskosity obalových směsí na skořepinové keramické formy pro přesné lití - DP - 1966

O B S A H

str.

Ověření rotačního viskosimetru na kontinuální měření viskosity obalové směsi	1
1.00 úvod	1
1.11 popis přístroje	2
1.21 ověření vhodnosti použití rotačního viskosimetru v provozních podmínkách	4
1.22 cejchování a provoz rotačního viskosimetru v provozní nádobě	6
1.31 zhodnocení měření a spolehlivosti viskosimetru	9
Studium fluidního zasypávání keramických skořepinových forem	13
2.00 úvod	13
2.11 princip fluidního zasypávání.	14
2.12 teoretický rozbor fluidní vrstvy	14
2.13 druhy fluidních vrstev	18
2.14 oblasti ve fluidní vrstvě ...	21
2.15 aplikace teorie fluidní vrstvy na fluidní zasypávání keramických skořepinových forem	21
2.20 měření v np. PRESTRO v Uh. Brodě	24
2.21 sručný technologický postup výroby ve slévárně	24
2.30 studium fluidního lůžka používané- ho v np. PRESTRO Uh. Brod ...	26
2.40 sledování změny zrnitosti zásypo- vého písku a vlivu změny viskosity na pevnost a prodyšnost keramických skořepinových forem	30
2.41 změna zrnitosti zásypového písku v závislosti na tlaku-hloubce a počtu obalených forem	34
2.42 vliv změny viskosity obalové směsi a počtu obalených forem na pevnost a prodyšnost keramických skořepinových forem	41
2.43 vliv změny tlaku vzduchu, hloubky ponoření, polohy všorku a jeho pohy- bu na pevnost a prodyšnost při konstantní viskositě obal. směsi	48
2.44 sledování abrasivních účinků fluidního lože	52
2.50 zhodnocení výsledků výzkumu z hle- diska využití pro zlepšení techno- logie výroby skořepin. forem .	54
2.51 zhodnocení výsledků výzkumu z hlediska ekonomického	55
2.60 závěr	58
3.00 seznam použité literatury ...	59